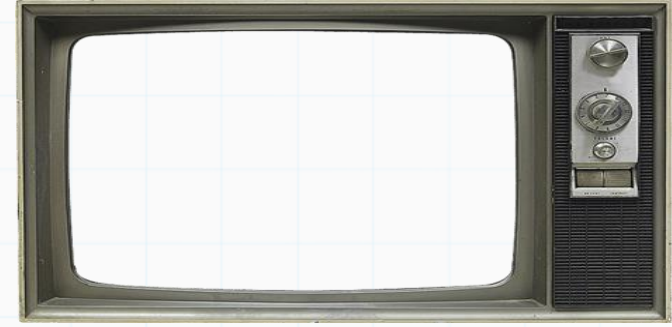


Métodos para PPI

Professor : Yuri Frota

www.ic.uff.br/~yuri/pi.html

yuri@ic.uff.br



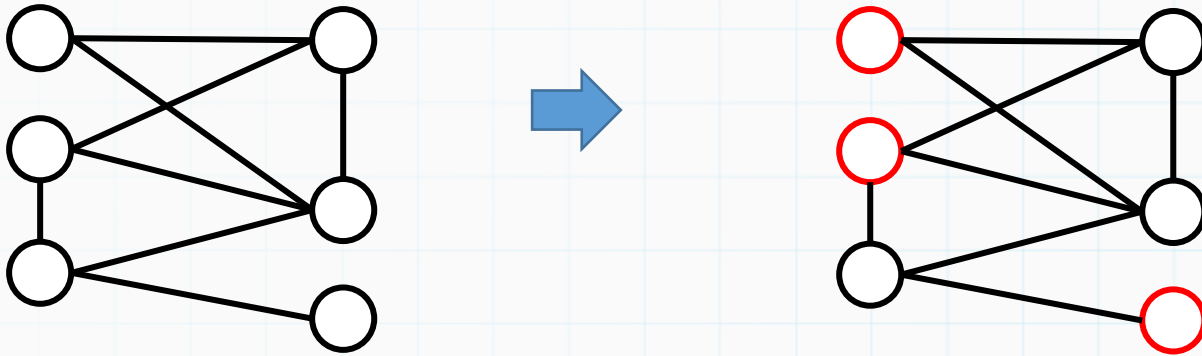
Cortes Estruturais



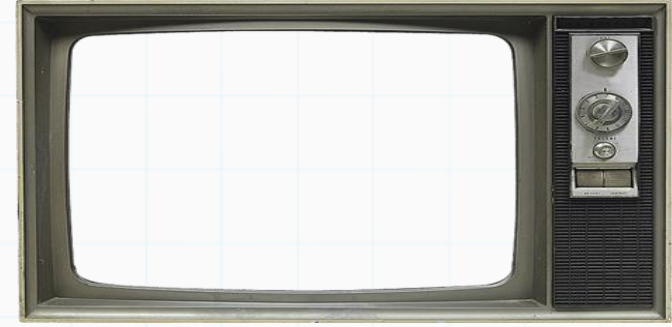
- São cortes baseados em estruturas locais dos problemas:

Problema do Conjunto Independente Máximo: Encontrar no grafo um subconjunto de vértices onde para cada par de vértices, não exista aresta entre eles:

modelo



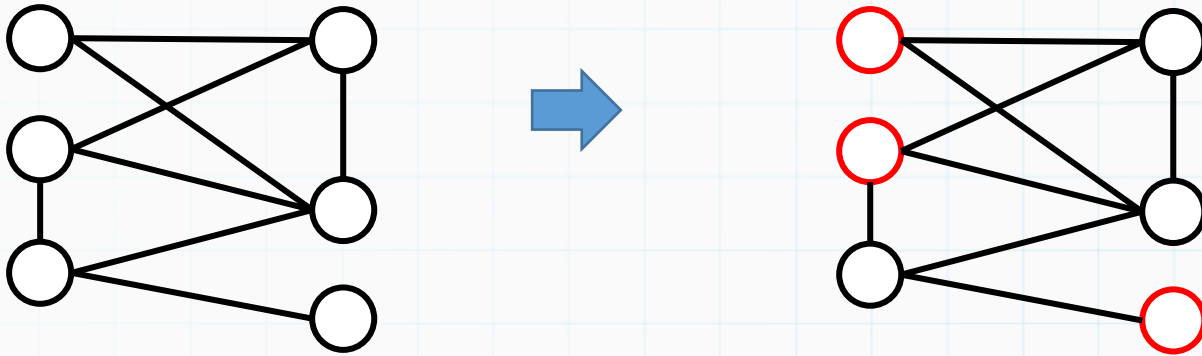
Cortes Estruturais



- São cortes baseados em estruturas locais dos problemas:

Problema do Conjunto Independente Máximo: Encontrar no grafo um subconjunto de vértices onde para cada par de vértices, não exista aresta entre eles:

modelo

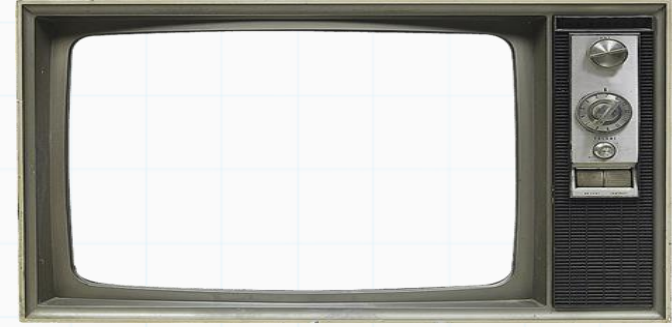


$$\max \sum_{i \in V} x_i$$

$$x_i + x_j \leq 1, \quad \forall ij \in E$$

$$x_i \in \mathbb{B}^{|V|}$$

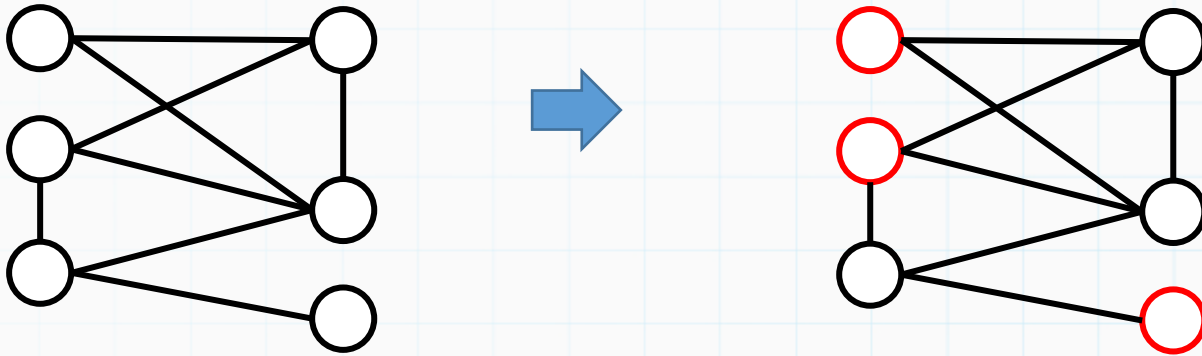
Cortes Estruturais



- São cortes baseados em estruturas locais dos problemas:

Problema do Conjunto Independente Máximo: Encontrar no grafo um subconjunto de vértices onde para cada par de vértices, não exista aresta entre eles:

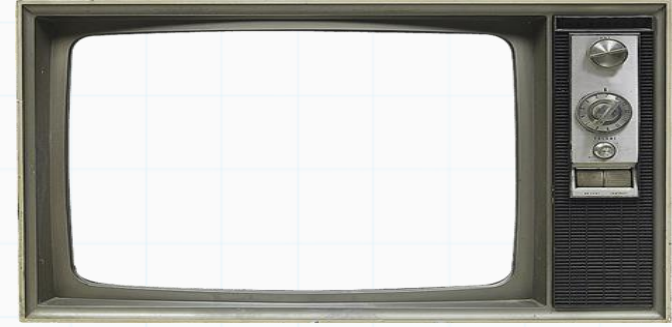
modelo



$$\begin{aligned} \max \quad & \sum_{i \in V} x_i \\ & x_i + x_j \leq 1, \quad \forall ij \in E \\ & x_i \in \mathbb{B}^{|V|} \end{aligned}$$

Seja C uma clique do grafo, o corte clique é :

Cortes Estruturais

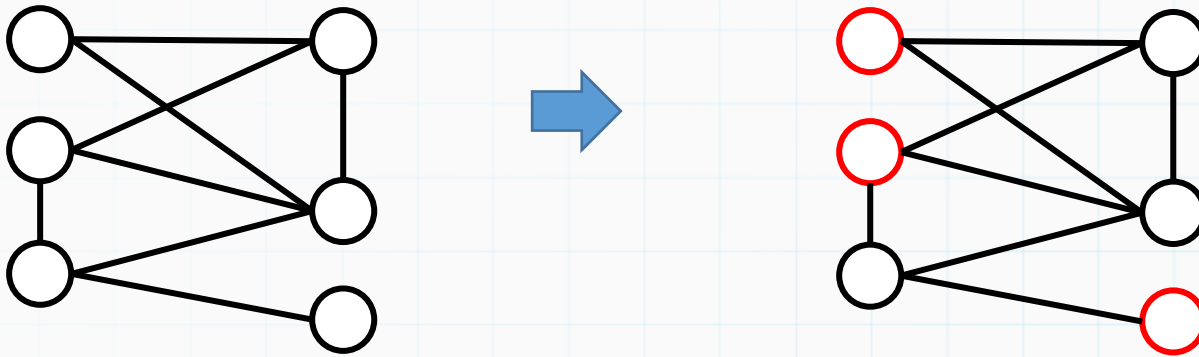


- São cortes baseados em estruturas locais dos problemas:

Problema do Conjunto Independente Máximo: Encontrar no grafo um subconjunto de vértices onde para cada par de vértices, não exista aresta entre eles:

modelo

$$\begin{aligned} \max \quad & \sum_{i \in V} x_i \\ & x_i + x_j \leq 1, \quad \forall ij \in E \\ & x_i \in \mathbb{B}^{|V|} \end{aligned}$$

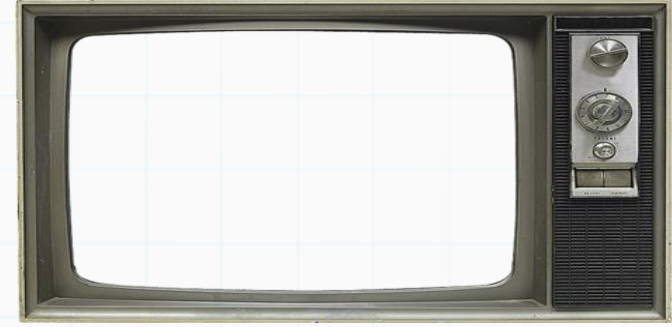


Seja C uma clique do grafo, o corte clique é :

$$\sum_{i \in C} x_i \leq 1$$

é válido

Cortes Estruturais



- São cortes baseados em estruturas locais dos problemas:

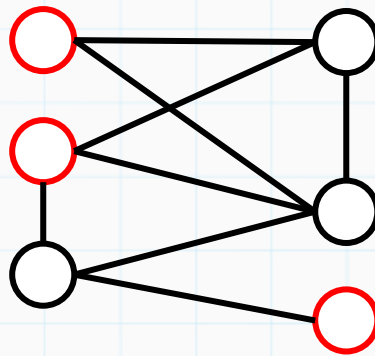
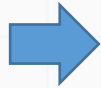
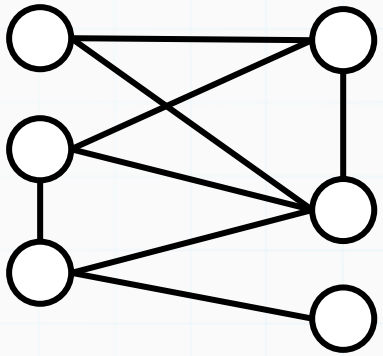
Problema do Conjunto Independente Máximo: Encontrar no grafo um subconjunto de vértices onde para cada par de vértices, não exista aresta entre eles:

modelo

$$\max \sum_{i \in V} x_i$$

$$x_i + x_j \leq 1, \quad \forall ij \in E$$

$$x_i \in \mathbb{B}^{|V|}$$

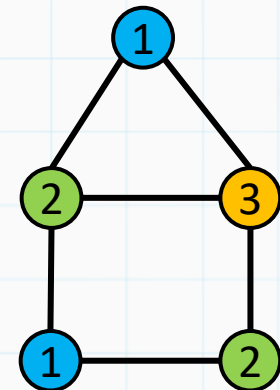


Seja C uma clique do grafo, o corte clique é :

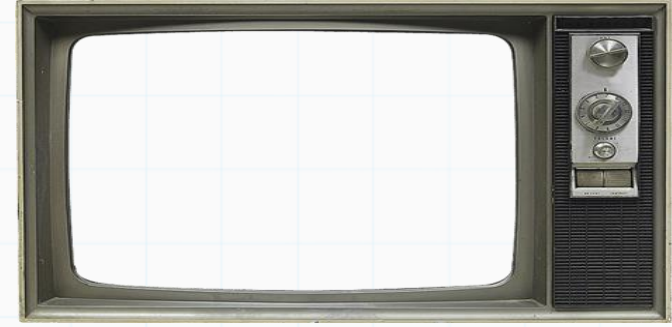
$$\sum_{i \in C} x_i \leq 1$$

é válido

usamos no problema de coloração
(que pode ser visto como uma
coleção de conjuntos
independentes)



Cortes Estruturais



- São cortes baseados em estruturas locais dos problemas:

Problema do Conjunto Independente Máximo: Encontrar no grafo um subconjunto de vértices onde para cada par de vértices, não exista aresta entre eles:

modelo

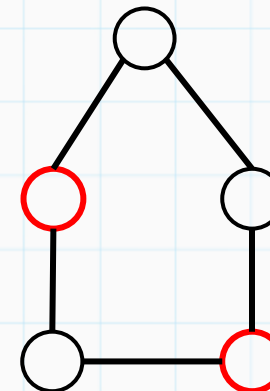
$$\begin{aligned} \max \quad & \sum_{i \in V} x_i \\ & x_i + x_j \leq 1, \quad \forall ij \in E \\ & x_i \in \mathbb{B}^{|V|} \end{aligned}$$



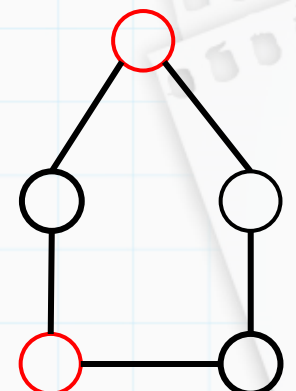
Agora considere C um ciclo de tamanho impar no grafo, temos que:

corte?

pois tem que
alternar os vértices
no ciclo

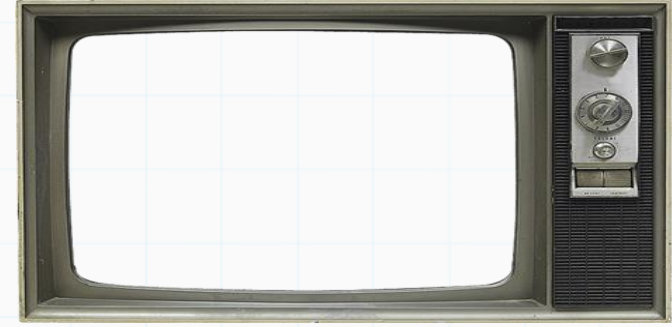


ou



ou...

Cortes Estruturais



- São cortes baseados em estruturas locais dos problemas:

Problema do Conjunto Independente Máximo: Encontrar no grafo um subconjunto de vértices onde para cada par de vértices, não exista aresta entre eles:

modelo

$$\begin{aligned} \max \quad & \sum_{i \in V} x_i \\ & x_i + x_j \leq 1, \quad \forall ij \in E \\ & x_i \in \mathbb{B}^{|V|} \end{aligned}$$

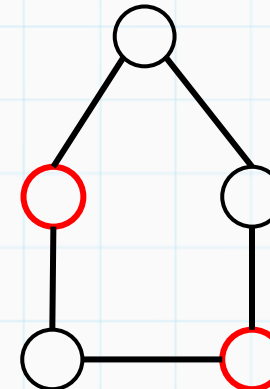


Agora considere C um ciclo de tamanho ímpar no grafo, temos que:

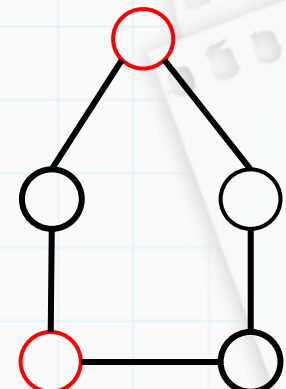
$$\sum_{i \in C} x_i \leq \frac{|C| - 1}{2}$$

é válido

pois tem que
alternar os vértices
no ciclo

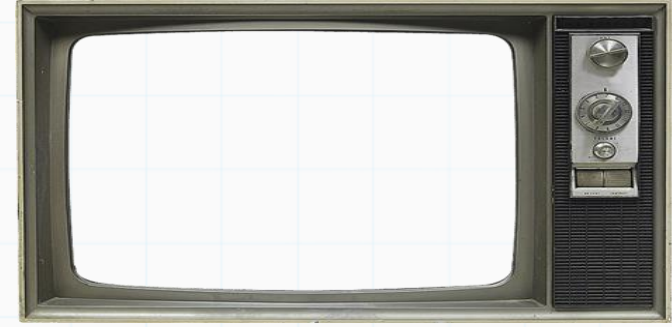


ou



ou...

Cortes Estruturais



Agora considere C um ciclo de tamanho ímpar no grafo, temos que:

$$\sum_{i \in C} x_i \leq \frac{|C| - 1}{2} \quad \text{é válido}$$

$$\max \sum_{i \in V} x_i$$

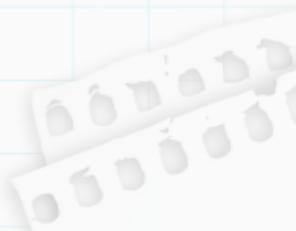
$$x_i + x_j \leq 1, \quad \forall ij \in E$$

$$x_i \in \mathbb{B}^{|V|}$$

Podemos comprovar formalmente a validade desse corte através do procedimento de C-G.

pois:

- 1) Toda inequação conseguida a partir de comb. linear de inequações válidas também será válida
- 2) O procedimento de C-G é um procedimento de comb. linear



Cortes Estruturais



Agora considere C um ciclo de tamanho ímpar no grafo, temos que:

$$\sum_{i \in C} x_i \leq \frac{|C| - 1}{2} \quad \text{é válido}$$

$$\max \sum_{i \in V} x_i$$

$$x_i + x_j \leq 1, \quad \forall ij \in E$$

$$x_i \in \mathbb{B}^{|V|}$$

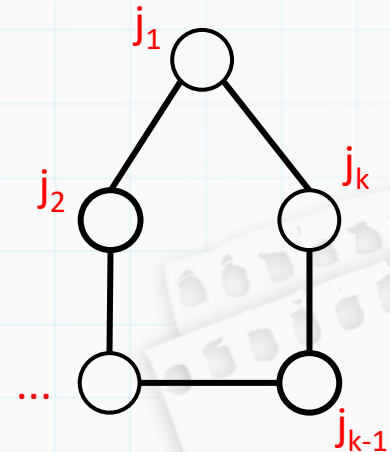
Podemos comprovar formalmente validade desse corte através do procedimento de C-G.
Vamos somar todas as inequações de arestas para o ciclo ímpar $C = \{j_1, j_2, \dots, j_k\}$

$$x_{j_1} + x_{j_k} \leq 1$$

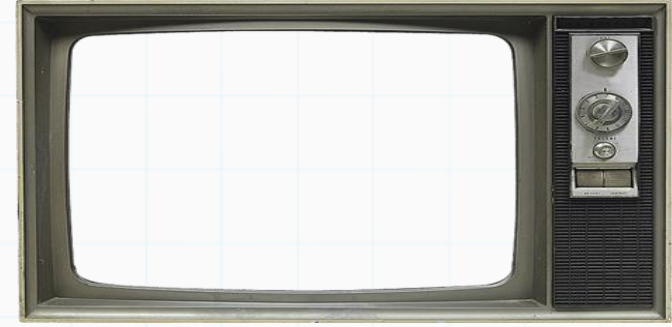
$$x_{j_i} + x_{j_{i+1}} \leq 1, \quad i = 1, \dots, k-1,$$

somando

$$2 \sum_{i \in C} x_i \leq |C|$$



Cortes Estruturais



Agora considere C um ciclo de tamanho ímpar no grafo, temos que:

$$\sum_{i \in C} x_i \leq \frac{|C| - 1}{2} \quad \text{é válido}$$

$$\max \sum_{i \in V} x_i$$

$$x_i + x_j \leq 1, \quad \forall ij \in E$$

$$x_i \in \mathbb{B}^{|V|}$$

Podemos comprovar a validade desse corte através do procedimento de C-G. Vamos somar todas as inequações de arestas para o ciclo ímpar $C = \{j_1, j_2, \dots, j_k\}$

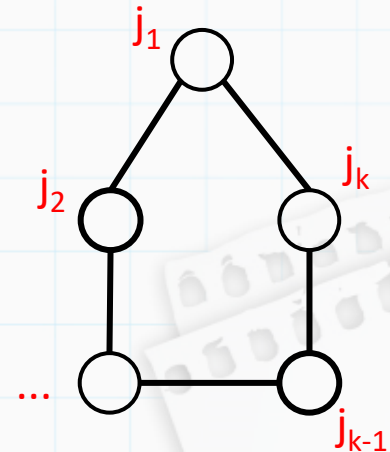
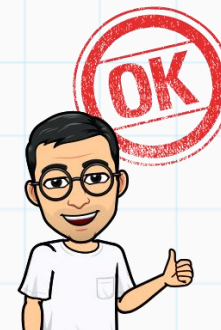
$$x_{j_1} + x_{j_k} \leq 1$$

$$x_{j_i} + x_{j_{i+1}} \leq 1, \quad i = 1, \dots, k-1,$$

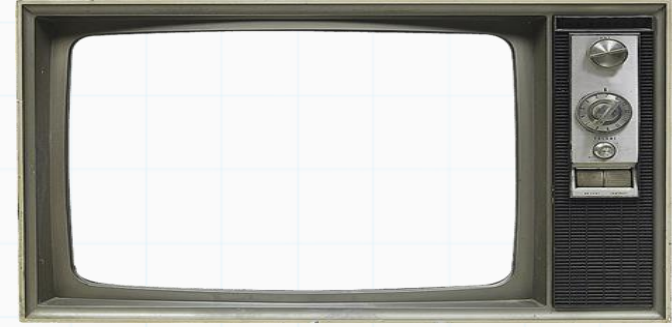
somando

$$2 \sum_{i \in C} x_i \leq |C|$$

Dividindo por 2 e arredondando



Cortes Estruturais



Agora considere C um ciclo de tamanho ímpar no grafo, temos que:

$$\sum_{i \in C} x_i \leq \frac{|C| - 1}{2} \quad \text{é válido}$$

$$\max \sum_{i \in V} x_i$$

$$x_i + x_j \leq 1, \quad \forall ij \in E$$

$$x_i \in \mathbb{B}^{|V|}$$

Podemos comprovar a validade desse corte através do procedimento de C-G. Vamos somar todas as inequações de arestas para o ciclo ímpar $C = \{j_1, j_2, \dots, j_k\}$

$$x_{j_1} + x_{j_k} \leq 1$$

$$x_{j_i} + x_{j_{i+1}} \leq 1, \quad i = 1, \dots, k-1,$$

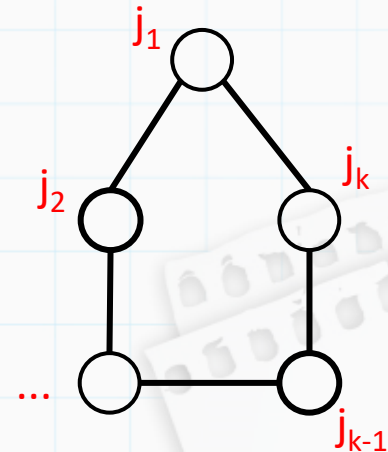
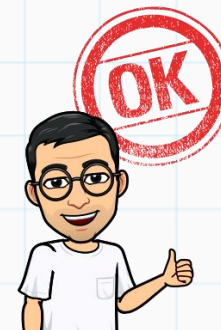
somando

$$2 \sum_{i \in C} x_i \leq |C|$$

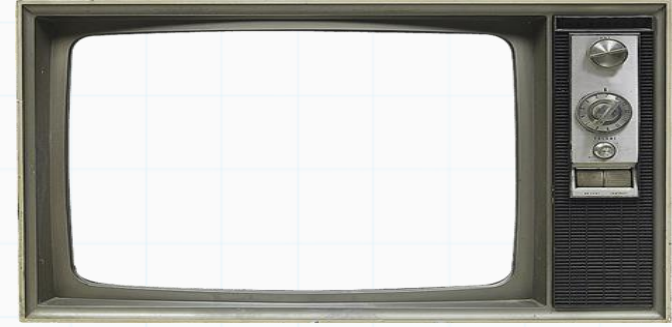
Dividindo por 2 e arredondando o lado direito para baixo

$$\sum_{i \in C} x_i \leq \frac{|C| - 1}{2}$$

pois $|C|$ é ímpar



Cortes Estruturais

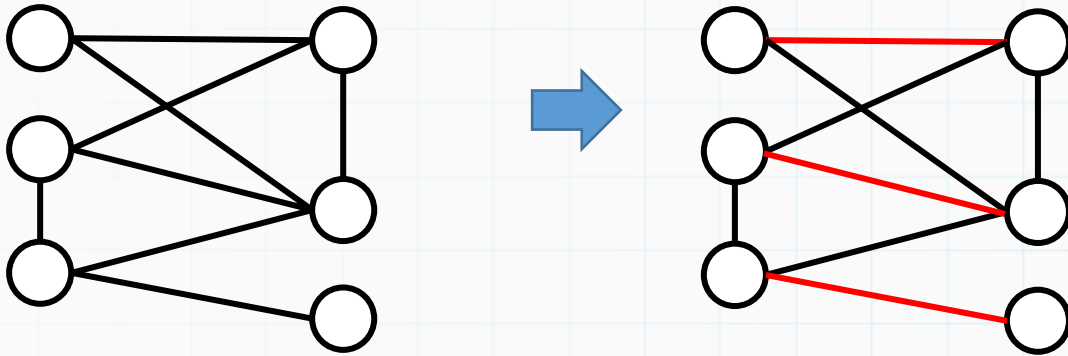


- São cortes baseados em estruturas locais dos problemas:

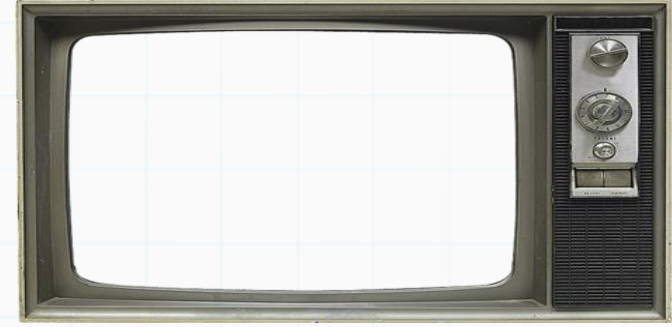
Cortes da Emparelhamento:

Problema de emparelhamento: encontrar o subconjunto de arestas que “casem” os vértices (cada vértice só pode ter uma ligação)

modelo



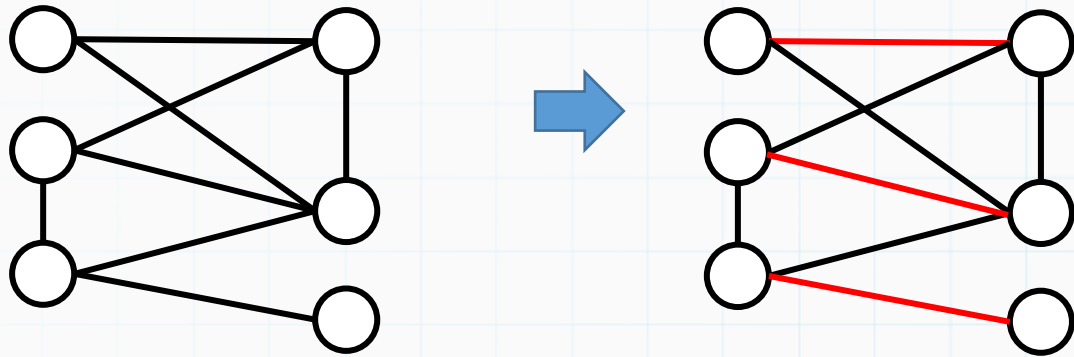
Cortes Estruturais



- São cortes baseados em estruturas locais dos problemas:

Cortes da Emparelhamento:

Problema de emparelhamento: encontrar o subconjunto de arestas que “casem” os vértices (cada vértice só pode ter uma ligação)

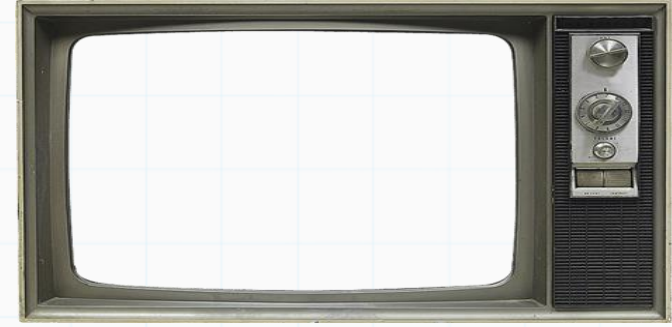


modelo

$$\begin{aligned} \max. & \sum_{e \in E} c_e x_e \\ & \sum_{e \in E(v, V)} x_e \leq 1, \quad v \in V, \\ & x_e \in \{0, 1\}, \quad e \in E, \end{aligned}$$

onde $E(S, T)$ denota as arestas entre os conjuntos S e T de vértices

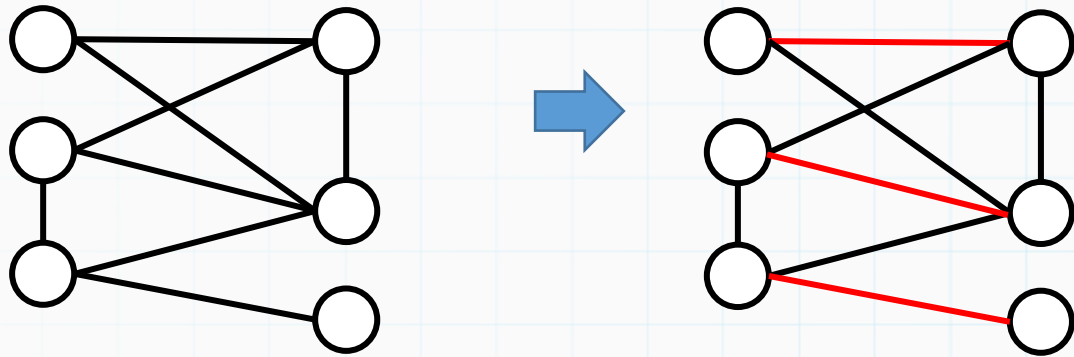
Cortes Estruturais



- São cortes baseados em estruturas locais dos problemas:

Cortes da Emparelhamento:

Problema de emparelhamento: encontrar o subconjunto de arestas que “casem” os vértices (cada vértice só pode ter uma ligação)

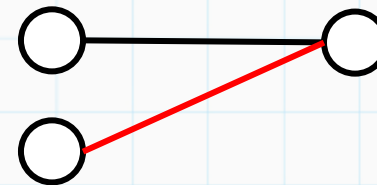


$$\begin{aligned} \max. & \sum_{e \in E} c_e x_e \\ & \sum_{e \in E(v, V)} x_e \leq 1, \quad v \in V, \\ & x_e \in \{0, 1\}, \quad e \in E, \end{aligned}$$

Seja $S \subseteq V$, onde $|S|$ é ímpar, então o corte de emparelhamento:

corte?

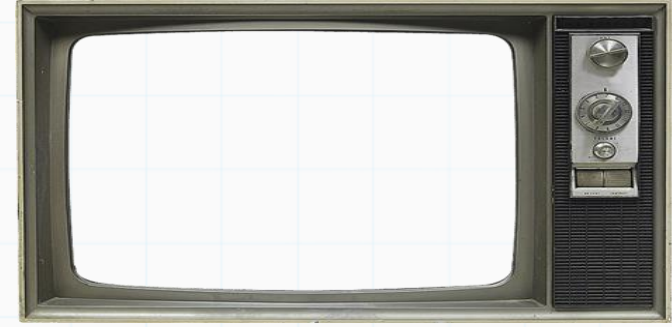
válido



não válido



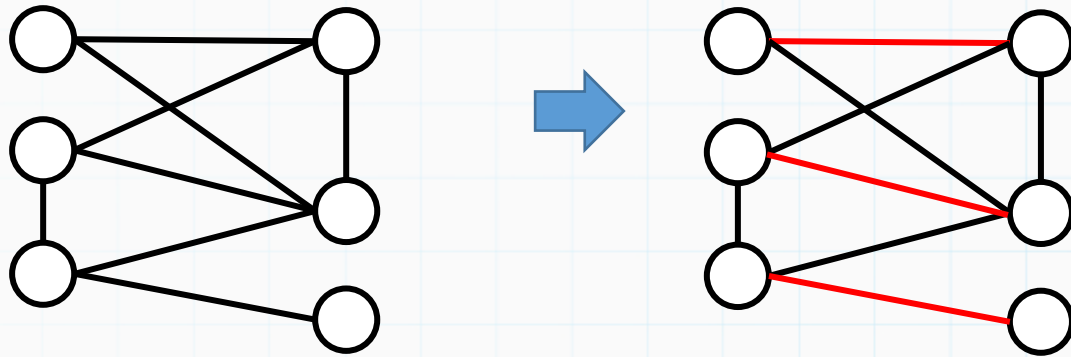
Cortes Estruturais



- São cortes baseados em estruturas locais dos problemas:

Cortes da Emparelhamento:

Problema de emparelhamento: encontrar o subconjunto de arestas que “casem” os vértices (cada vértice só pode ter uma ligação)



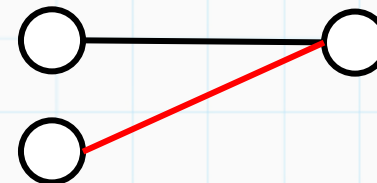
$$\begin{aligned} \max. & \sum_{e \in E} c_e x_e \\ & \sum_{e \in E(v, V)} x_e \leq 1, \quad v \in V, \\ & x_e \in \{0, 1\}, \quad e \in E, \end{aligned}$$

Seja $S \subseteq V$, onde $|S|$ é ímpar, então o corte de emparelhamento:

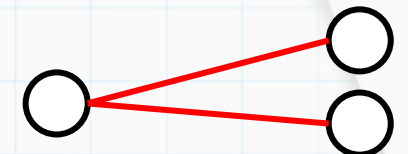
$$\sum_{e \in E(S, S)} x_e \leq \frac{|S| - 1}{2}$$

é válido

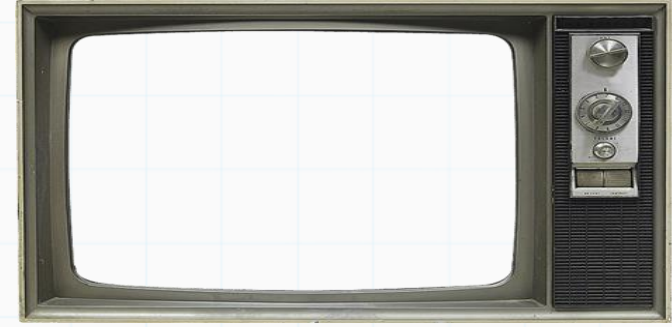
válido



não válido



Cortes Estruturais



Cortes da Emparelhamento:

Seja $S \subseteq V$, onde $|S|$ é ímpar, então o corte de emparelhamento:

$$\sum_{e \in E(S, S)} x_e \leq \frac{|S| - 1}{2}$$

é válido

$$\max, \sum_{e \in E} c_e x_e$$

$$\sum_{e \in E(v, V)} x_e \leq 1, \quad v \in V,$$

$$x_e \in \{0, 1\}, \quad e \in E,$$

Podemos comprovar formalmente a validade desse corte através do procedimento de C-G. Vamos somar todas as inequações do modelo para os vértices em S

$$\sum_{e \in E(v, V)} x_e \leq 1, \quad v \in S, \quad \xrightarrow{\text{somando}} \quad \sum_{e \in E(S, V)} x_e \leq |S|.$$



Cortes Estruturais



Cortes da Emparelhamento:

Seja $S \subseteq V$, onde $|S|$ é ímpar, então o corte de emparelhamento:

$$\sum_{e \in E(S,S)} x_e \leq \frac{|S| - 1}{2}$$

é válido

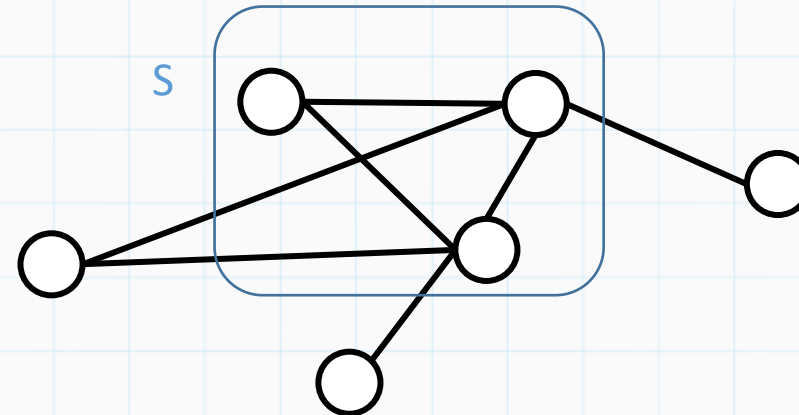
$$\max, \sum_{e \in E} c_e x_e$$

$$\sum_{e \in E(v,V)} x_e \leq 1, \quad v \in V,$$

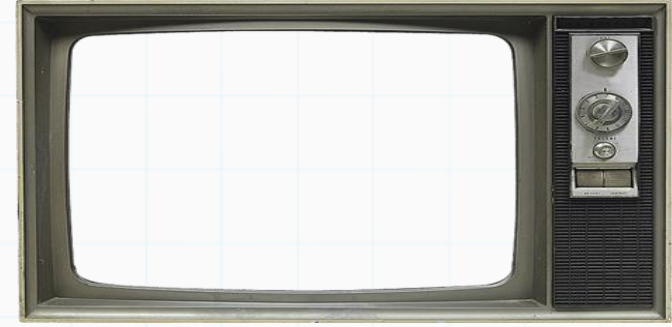
$$x_e \in \{0, 1\}, \quad e \in E,$$

Podemos comprovar formalmente a validade desse corte através do procedimento de C-G. Vamos somar todas as inequações do modelo para os vértices em S

$$\sum_{e \in E(v,V)} x_e \leq 1, \quad v \in S, \quad \xrightarrow{\text{somando}} \sum_{e \in E(S,V)} x_e \leq |S|. \quad \xrightarrow{\text{separando}} 2 \sum_{e \in E(S,S)} x_e + \sum_{e \in E(S,V \setminus S)} x_e \leq |S|.$$



Cortes Estruturais



Cortes da Emparelhamento:

Seja $S \subseteq V$, onde $|S|$ é ímpar, então o corte de emparelhamento:

$$\sum_{e \in E(S,S)} x_e \leq \frac{|S| - 1}{2}$$

é válido

$$\max, \sum_{e \in E} c_e x_e$$

$$\sum_{e \in E(v,V)} x_e \leq 1, \quad v \in V,$$

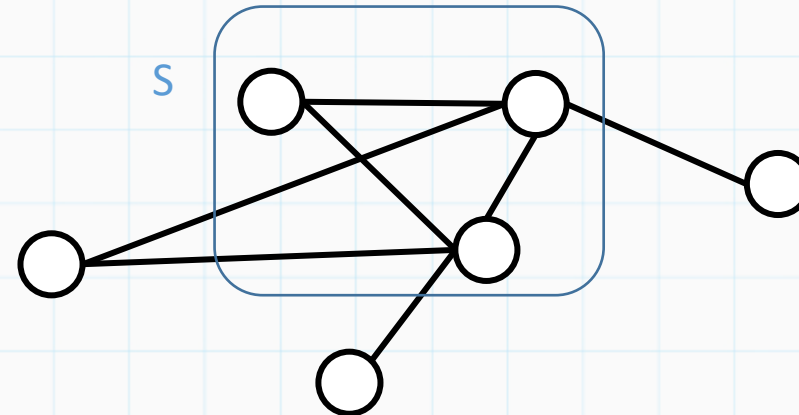
$$x_e \in \{0, 1\}, \quad e \in E,$$

Podemos comprovar formalmente a validade desse corte através do procedimento de C-G.
Vamos somar todas as inequações do modelo para os vértices em S

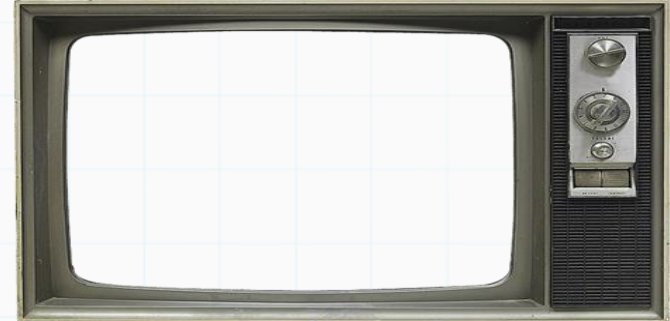
$$\sum_{e \in E(v,V)} x_e \leq 1, \quad v \in S, \quad \xrightarrow{\text{somando}} \sum_{e \in E(S,V)} x_e \leq |S|. \quad \xrightarrow{\text{separando}} 2 \sum_{e \in E(S,S)} x_e + \sum_{e \in E(S,V \setminus S)} x_e \leq |S|.$$

Dividindo por 2

$$\sum_{e \in E(S,S)} x_e + \frac{1}{2} \sum_{e \in E(S,V \setminus S)} x_e \leq \frac{|S|}{2}.$$



Cortes Estruturais



Cortes da Emparelhamento:

Seja $S \subseteq V$, onde $|S|$ é ímpar, então o corte de emparelhamento:

$$\sum_{e \in E(S,S)} x_e \leq \frac{|S| - 1}{2}$$

é válido

$$\max, \sum_{e \in E} c_e x_e$$

$$\sum_{e \in E(v,V)} x_e \leq 1, \quad v \in V,$$

$$x_e \in \{0, 1\}, \quad e \in E,$$

Podemos comprovar formalmente a validade desse corte através do procedimento de C-G.
Vamos somar todas as inequações do modelo para os vértices em S

$$\sum_{e \in E(v,V)} x_e \leq 1, \quad v \in S, \quad \xrightarrow{\text{somando}} \sum_{e \in E(S,V)} x_e \leq |S|. \quad \xrightarrow{\text{separando}} 2 \sum_{e \in E(S,S)} x_e + \sum_{e \in E(S,V \setminus S)} x_e \leq |S|.$$

Dividindo por 2

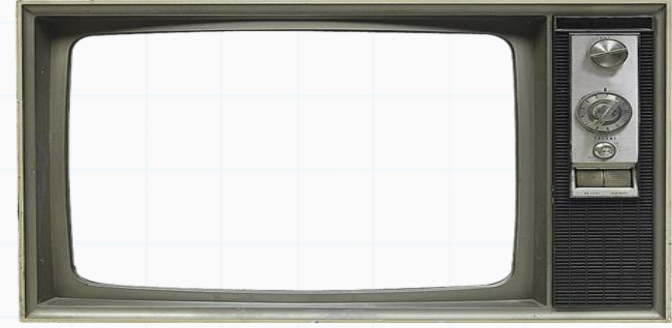
$$\sum_{e \in E(S,S)} x_e + \frac{1}{2} \sum_{e \in E(S,V \setminus S)} x_e \leq \frac{|S|}{2}.$$

Arredondando o lado esquerdo e depois o direito

$$\sum_{e \in E(S,S)} x_e \leq \frac{|S| - 1}{2}$$

pois $|S|$
é ímpar

Cortes Estruturais



Cortes do grafo de conflito em variáveis binárias:

Seja um poliedro $P(Ax \leq b)$ com variáveis binárias. Definimos o grafo G_x onde para cada variável x_i em P teremos dois vértice: $x_i=1$ e $x_i=0$

$x_1=0$



$x_1=1$



$x_2=0$



$x_2=1$



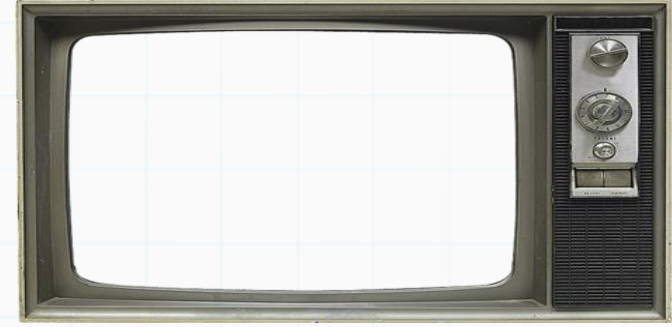
$x_3=0$



$x_3=1$

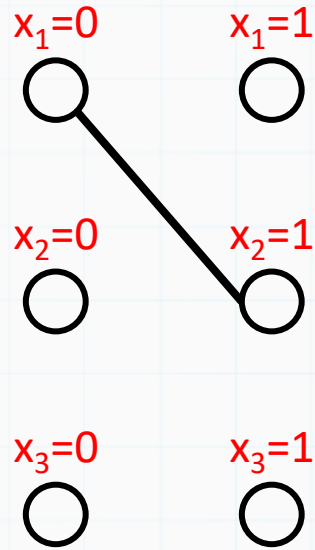


Cortes Estruturais

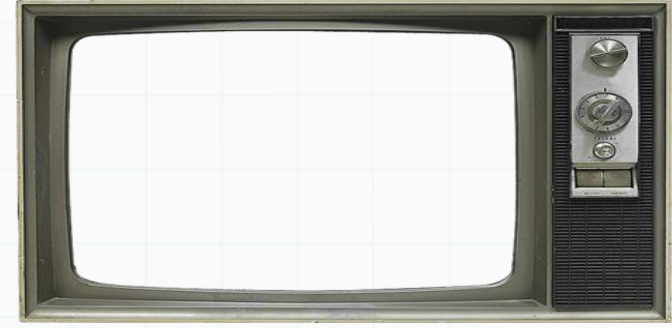


Cortes do grafo de conflito em variáveis binárias:

Seja um poliedro $P(Ax \leq b)$ com variáveis binárias. Definimos o grafo G_x onde para cada variável x_i em P teremos dois vértice: $x_i=1$ e $x_i=0$. Definimos que a aresta $(x_i=a, x_j=b)$, para $a, b \in \{0,1\}$, está no grafo de conflito se este par de atribuições for inviável para o poliedro P (conflito)



Cortes Estruturais

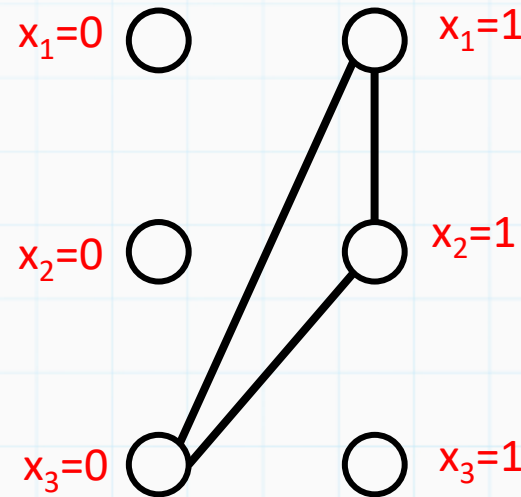


Cortes do grafo de conflito em variáveis binárias:

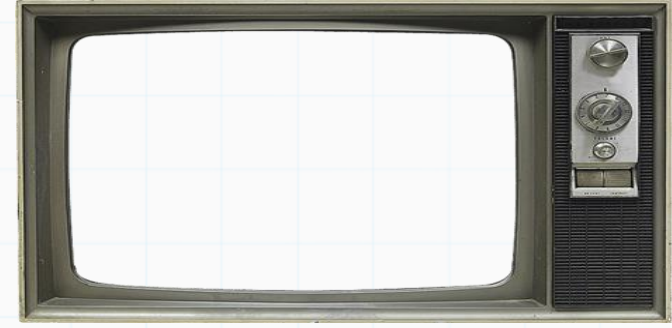
Seja um poliedro $P(Ax \leq b)$ com variáveis binárias. Definimos o grafo G_x onde para cada variável x_i em P teremos dois vértice: $x_i=1$ e $x_i=0$. Definimos que a aresta $(x_i=a, x_j=b)$, para $a, b \in \{0,1\}$, está no grafo de conflito se este par de atribuições for inviável para o poliedro P (conflito).

Ex:

$$\begin{aligned}x_1 + 2x_2 - x_3 &\leq 1, \\ 3x_1 + x_2 - 2x_3 &\leq 2, \\ x_1, x_2, x_3 &\in \{0, 1\},\end{aligned}$$



Cortes Estruturais



Cortes do grafo de conflito em variáveis binárias:

Seja um poliedro $P(Ax \leq b)$ com variáveis binárias. Definimos o grafo G_x onde para cada variável x_i em P teremos dois vértice: $x_i=1$ e $x_i=0$. Definimos que a aresta $(x_i=a, x_j=b)$, para $a, b \in \{0,1\}$, está no grafo de conflito se este par de atribuições for inviável para o poliedro P (conflito).

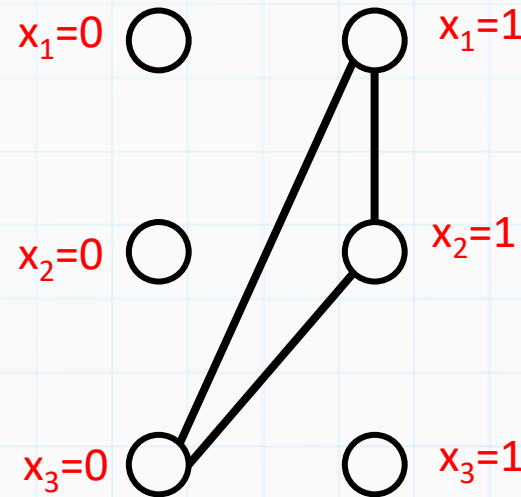
Ex:
$$\begin{aligned} x_1 + 2x_2 - x_3 &\leq 1, \\ 3x_1 + x_2 - 2x_3 &\leq 2, \\ x_1, x_2, x_3 &\in \{0, 1\}, \end{aligned}$$

Cortes cliques em G_x são válidos:

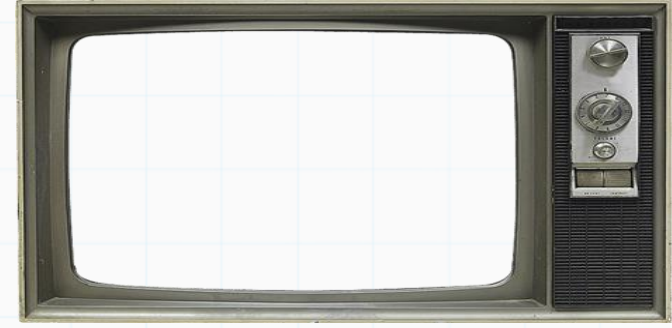
$$x_1 + x_2 + (1 - x_3) \leq 1$$

ou

$$x_1 + x_2 - x_3 \leq 0$$



Cortes Estruturais



Cortes do grafo de conflito em variáveis binárias:

Seja um poliedro $P(Ax \leq b)$ com variáveis binárias. Definimos o grafo G_x onde para cada variável x_i em P teremos dois vértice: $x_i=1$ e $x_i=0$. Definimos que a aresta $(x_i=a, x_j=b)$, para $a, b \in \{0,1\}$, está no grafo de conflito se este par de atribuições for inviável para o poliedro P (conflito).

Ex:

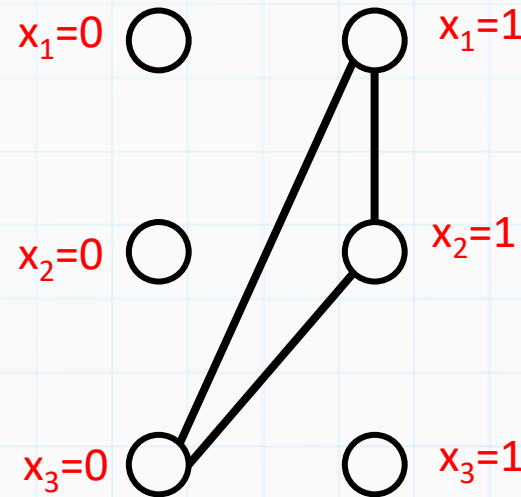
$$\begin{aligned} x_1 + 2x_2 - x_3 &\leq 1, \\ 3x_1 + x_2 - 2x_3 &\leq 2, \\ x_1, x_2, x_3 &\in \{0, 1\}, \end{aligned}$$

Cortes cliques em G_x são válidos:

$$x_1 + x_2 + (1 - x_3) \leq 1$$

ou

$$x_1 + x_2 - x_3 \leq 0$$



De forma geral temos
para clique C em G_x :

$$\sum_{j^1 \in C} x_j + \sum_{j^0 \in C} (1 - x_j) \leq 1$$

Cortes Estruturais



Cortes do grafo de conflito em variáveis binárias:

Seja um poliedro $P(Ax \leq b)$ com variáveis binárias. Definimos o grafo G_x onde para cada variável x_i em P teremos dois vértice: $x_i=1$ e $x_i=0$. Definimos que a aresta $(x_i=a, x_j=b)$, para $a, b \in \{0,1\}$, está no grafo de conflito se este par de atribuições for inviável para o poliedro P (conflito).

Ex:

$$\begin{aligned} x_1 + 2x_2 - x_3 &\leq 1, \\ 3x_1 + x_2 - 2x_3 &\leq 2, \\ x_1, x_2, x_3 &\in \{0, 1\}, \end{aligned}$$

Cortes cliques em G_x são válidos:

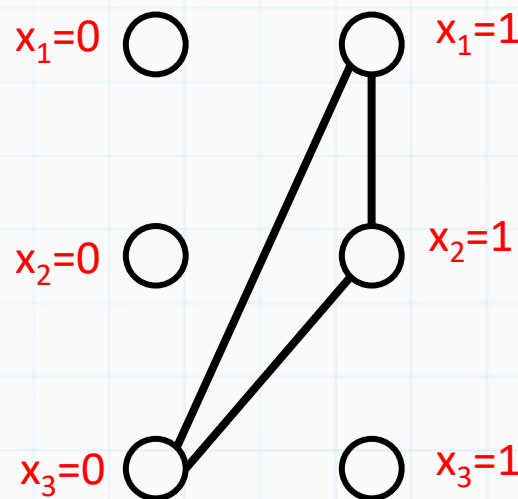
$$x_1 + x_2 + (1 - x_3) \leq 1$$

ou

$$x_1 + x_2 - x_3 \leq 0$$

De forma geral temos para clique C em G_x :

$$\sum_{j^1 \in C} x_j + \sum_{j^0 \in C} (1 - x_j) \leq 1$$



Assim como cortes de ciclo impar são válidos, dado um ciclo impar C em G_x :

$$\sum_{j^1 \in C} x_j + \sum_{j^0 \in C} (1 - x_j) \leq \frac{|C| - 1}{2}$$

Cortes de Conflito: Dado o sistema

Exercício



$$5x_1 + 4x_2 - 9x_3 \leq 3$$

$$7x_1 + x_2 - 11x_3 \leq 2$$

$$-3x_2 - 2x_5 \geq -3$$

$$x_5 \leq x_4$$

$$x_1 \leq x_4$$

Que corte de conflito podemos deduzir ?

Onde corte clique é dado por:

$$\sum_{j^1 \in C} x_j + \sum_{j^0 \in C} (1 - x_j) \leq 1$$

E de ciclo por :

$$\sum_{j^1 \in C} x_j + \sum_{j^0 \in C} (1 - x_j) \leq \frac{|C| - 1}{2}$$

Monte o grafo usando apenas os seguintes vértices :

$x_4=0$

$x_2=1$

$x_1=1$

$x_5=1$

$x_3=0$

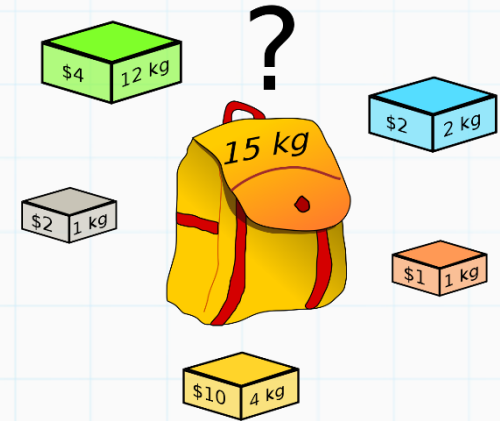
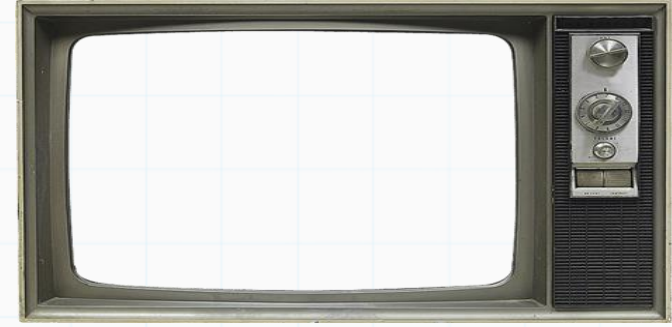


Cortes Estruturais

- São cortes baseados em estruturas locais dos problemas:

Cortes da Mochila:

modelo



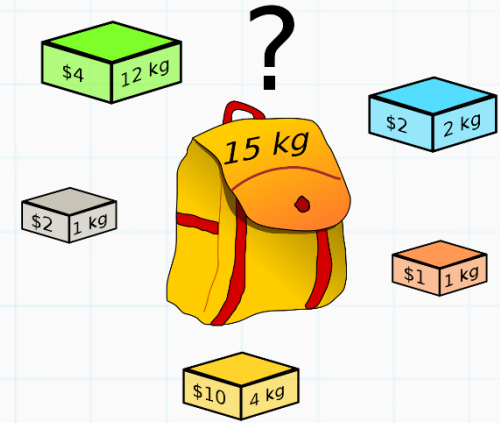
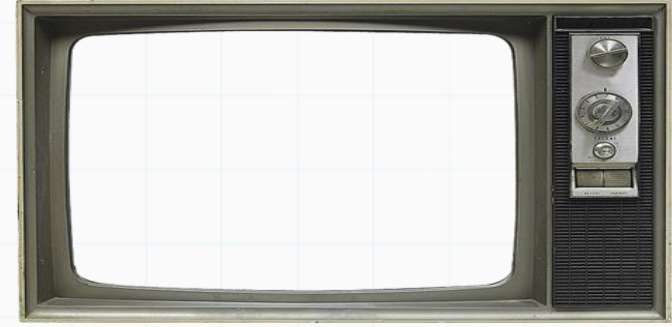
Cortes Estruturais

- São cortes baseados em estruturas locais dos problemas:

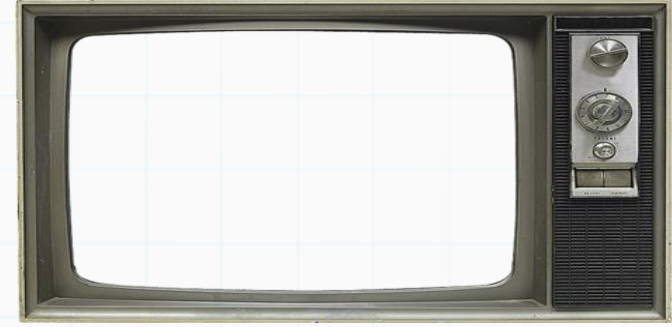
Cortes da Mochila:

modelo

$$\begin{aligned} \max \quad & c^t x \\ \sum_{i \in I} p_i x_i & \leq C \\ x & \in \{0, 1\}^n \end{aligned}$$



Cortes Estruturais

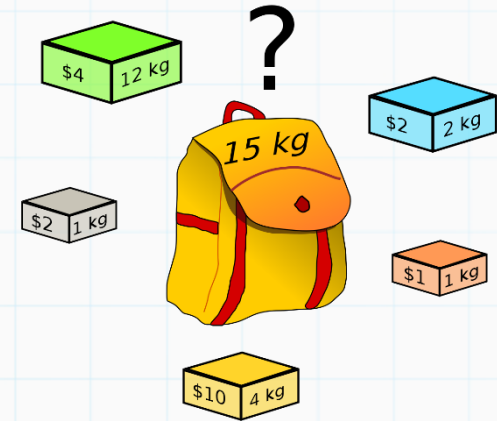


- São cortes baseados em estruturas locais dos problemas:

Cortes da Mochila:

modelo

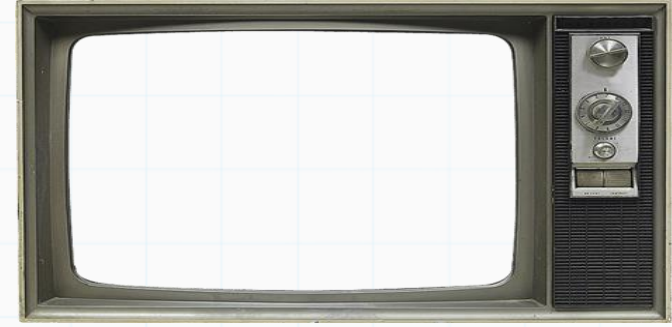
$$\begin{aligned} \max \quad & c^t x \\ \sum_{i \in I} p_i x_i & \leq C \\ x & \in \{0, 1\}^n \end{aligned}$$



Seja $R \subseteq I$, se, $\sum_{i \in R} p_i > C$ então R é dito uma cobertura da mochila

Coberturas são conjuntos de itens que compõem soluções inválidas

Cortes Estruturais

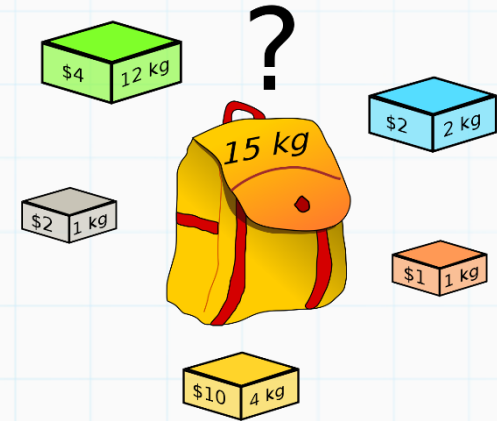


- São cortes baseados em estruturas locais dos problemas:

Cortes da Mochila:

modelo

$$\begin{aligned} \max \quad & c^t x \\ \sum_{i \in I} p_i x_i & \leq C \\ x & \in \{0, 1\}^n \end{aligned}$$

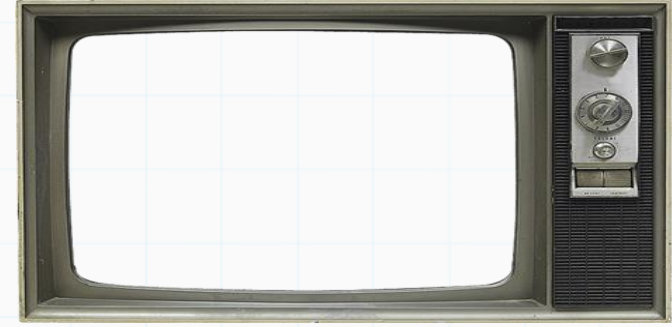


Seja $R \subseteq I$, se, $\sum_{i \in R} p_i > C$ então R é dito uma cobertura da mochila

Então temos que o corte $\sum_{i \in R} x_i \leq |R| - 1$ é válido para a mochila

pois a mochila não aguenta todos os itens de R

Cortes Estruturais

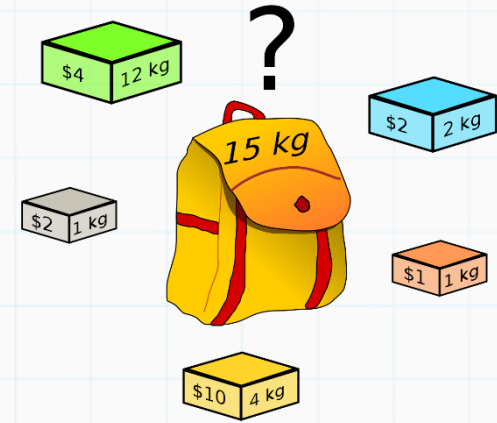


- São cortes baseados em estruturas locais dos problemas:

Cortes da Mochila:

modelo

$$\begin{aligned} \max \quad & c^t x \\ \sum_{i \in I} p_i x_i & \leq C \\ x & \in \{0, 1\}^n \end{aligned}$$



Seja $R \subseteq I$, se, $\sum_{i \in R} p_i > C$ então R é dito uma cobertura da mochila

Então temos que o corte $\sum_{i \in R} x_i \leq |R| - 1$ é válido para a mochila

pois a mochila não aguenta todos os itens de R

Ex:

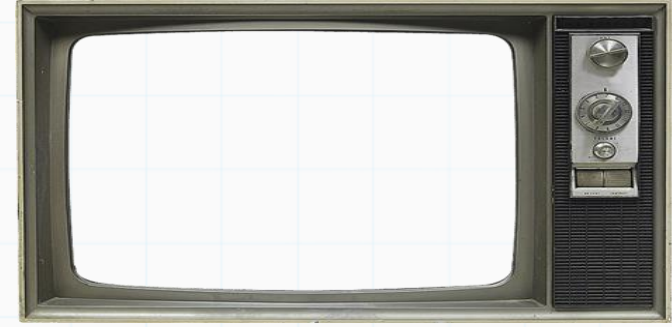
$$S = \{x \in \mathbb{B}^5 \mid 7x_1 + 5x_2 + 5x_3 + 4x_4 + 4x_5 \leq 17\}$$

Corte cobertura

$$R = \{2, 3, 4, 5\}$$

$$x_2 + x_3 + x_4 + x_5 \leq 3$$

Cortes Estruturais

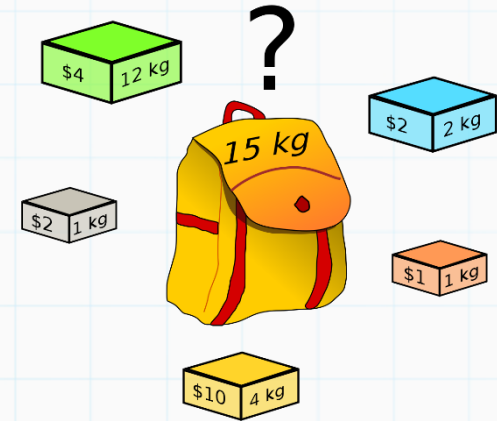


- São cortes baseados em estruturas locais dos problemas:

Cortes da Mochila:

Uma cobertura R é dita minimal, se a retirada de qualquer vértice de R faça ele deixar de ser uma cobertura:

Ex:



$$S = \{x \in \mathbb{B}^5 | 7x_1 + 5x_2 + 5x_3 + 4x_4 + 4x_5 \leq 17\} \quad R = \{2, 3, 4, 5\}$$

Isto é, tirar qualquer um elemento da cobertura, deixa ela uma solução viável

Cortes Estruturais



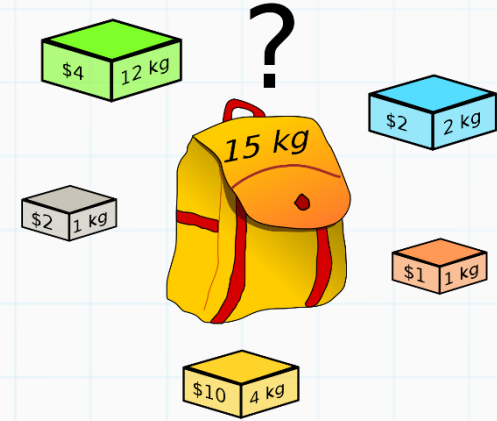
- Fortalecimento (Lift) dos cortes da mochila: Considere o problema

$$S = \{x \in \mathbb{B}^7 \mid 11x_1 + 6x_2 + 6x_3 + 5x_4 + 5x_5 + 4x_6 + x_7 \leq 19\}$$

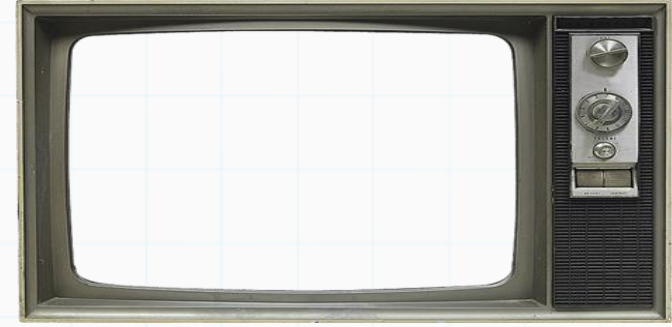
E o corte de cobertura definido por $R = \{3, 4, 5, 6\}$

$$x_3 + x_4 + x_5 + x_6 \leq 3$$

é minimal ?



Cortes Estruturais



- Fortalecimento (Lift) dos cortes da mochila: Considere o problema

$$S = \{x \in \mathbb{B}^7 | 11x_1 + 6x_2 + 6x_3 + 5x_4 + 5x_5 + 4x_6 + x_7 \leq 19\}$$

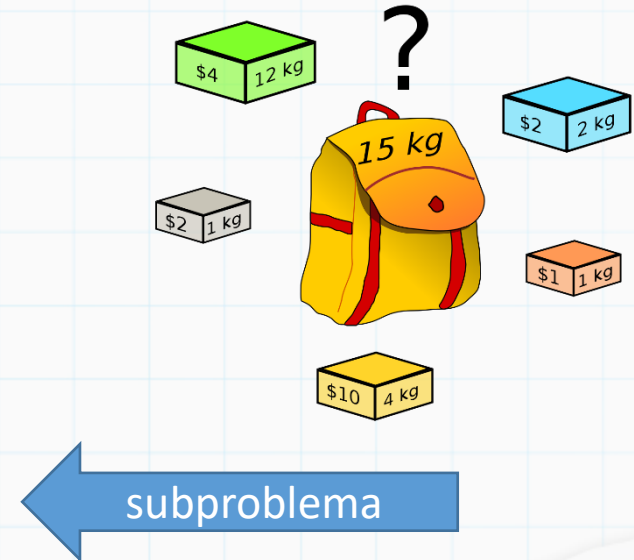
E o corte de cobertura definido por $R = \{3, 4, 5, 6\}$ é minimal ?

$$x_3 + x_4 + x_5 + x_6 \leq 3$$

Vamos tentar fortificar o corte com outra variável (ex: x_1) , vemos que o corte é válido para o subproblema

$$6x_3 + 5x_4 + 5x_5 + 4x_6 \leq 19$$

onde $x_1=x_2=x_7=0$ (se a mochila tivesse apenas os itens do corte)



Cortes Estruturais

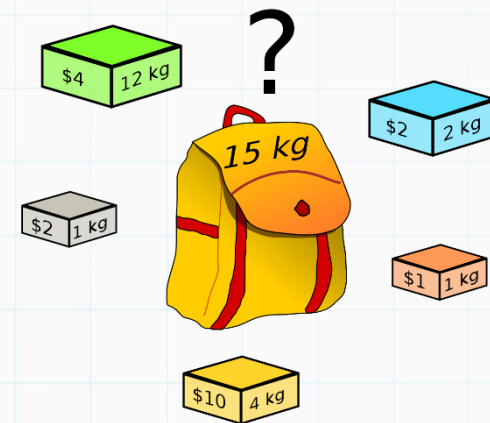


- Fortalecimento (Lift) dos cortes da mochila: Considere o problema

$$S = \{x \in \mathbb{B}^7 | 11x_1 + 6x_2 + 6x_3 + 5x_4 + 5x_5 + 4x_6 + x_7 \leq 19\}$$

E o corte de cobertura definido por $R = \{3, 4, 5, 6\}$ é minimal ?

$$x_3 + x_4 + x_5 + x_6 \leq 3$$



Vamos tentar fortificar o corte com outra variável (ex: x_1), vemos que o corte é válido para o subproblema

$$6x_3 + 5x_4 + 5x_5 + 4x_6 \leq 19$$

onde $x_1=x_2=x_7=0$ (se a mochila tivesse apenas os itens do corte)

subproblema

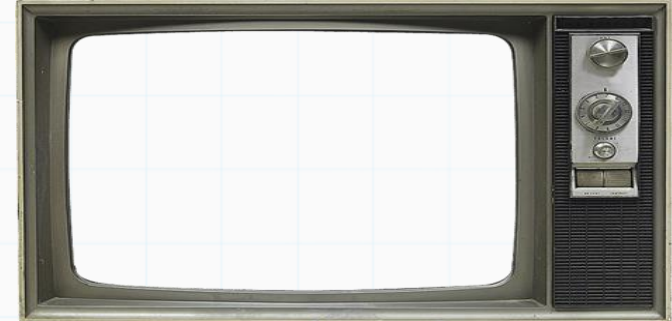
Queremos saber para que valores de α o corte $\alpha x_1 + x_3 + x_4 + x_5 + x_6 \leq 3$

Corte estendido

é válido para o subproblema $11x_1 + 6x_3 + 5x_4 + 5x_5 + 4x_6 \leq 19$?

subproblema estendido de x_1

Cortes Estruturais

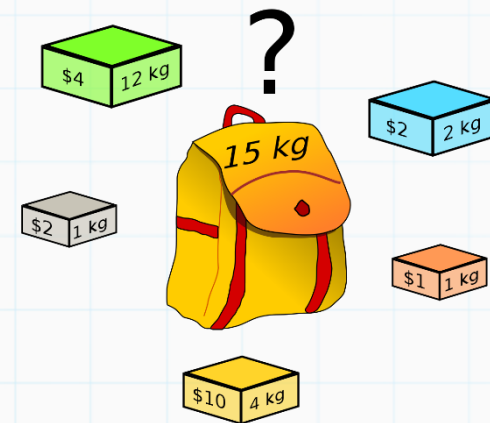


- Fortalecimento (Lift) dos cortes da mochila: Considere o problema

$$S = \{x \in \mathbb{B}^7 | 11x_1 + 6x_2 + 6x_3 + 5x_4 + 5x_5 + 4x_6 + x_7 \leq 19\}$$

E o corte de cobertura definido por $R = \{3, 4, 5, 6\}$ é minimal ?

$$x_3 + x_4 + x_5 + x_6 \leq 3$$



Vamos tentar fortificar o corte com outra variável (ex: x_1), vemos que o corte é válido para o subproblema

$$6x_3 + 5x_4 + 5x_5 + 4x_6 \leq 19$$

onde $x_1=x_2=x_7=0$ (se a mochila tivesse apenas os itens do corte)

subproblema

Queremos saber para que valores de α o corte $\alpha x_1 + x_3 + x_4 + x_5 + x_6 \leq 3$

Corte estendido

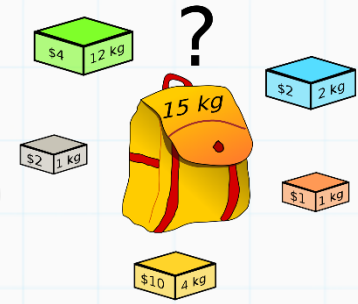
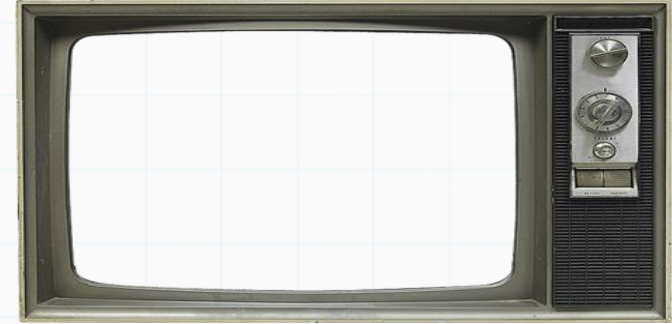
é válido para o subproblema $11x_1 + 6x_3 + 5x_4 + 5x_5 + 4x_6 \leq 19$?

subproblema estendido de x_1

Caso 1: $x_1=0$

válido pois recai no corte original

Cortes Estruturais



- Fortalecimento (Lift) dos cortes da mochila: Considere o problema

problema

$$S = \{x \in \mathbb{B}^7 | 11x_1 + 6x_2 + 6x_3 + 5x_4 + 5x_5 + 4x_6 + x_7 \leq 19\}$$

Caso 2: $x_1=1$

corte

$$\alpha x_1 + x_3 + x_4 + x_5 + x_6 \leq 3$$

$$\alpha + x_3 + x_4 + x_5 + x_6 \leq 3$$

se válido para
subproblema
então

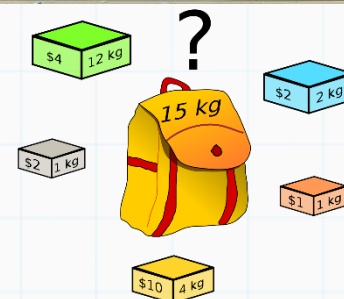
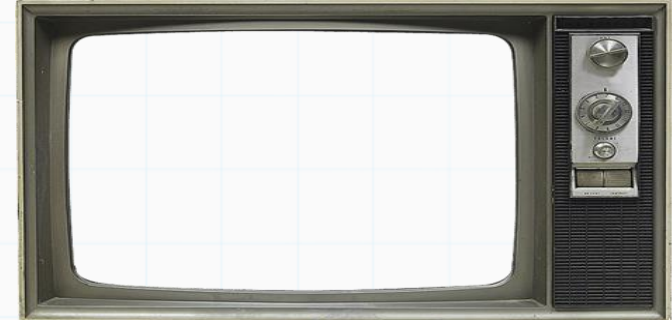
subproblema

$$11x_1 + 6x_3 + 5x_4 + 5x_5 + 4x_6 \leq 19$$

$$11 + 6x_3 + 5x_4 + 5x_5 + 4x_6 \leq 19$$

$$6x_3 + 5x_4 + 5x_5 + 4x_6 \leq 8$$

Cortes Estruturais



- Fortalecimento (Lift) dos cortes da mochila: Considere o problema

problema

$$S = \{x \in \mathbb{B}^7 | 11x_1 + 6x_2 + 6x_3 + 5x_4 + 5x_5 + 4x_6 + x_7 \leq 19\}$$

subproblema

$$11x_1 + 6x_3 + 5x_4 + 5x_5 + 4x_6 \leq 19$$

$$\mathbf{11} + 6x_3 + 5x_4 + 5x_5 + 4x_6 \leq 19$$

$$6x_3 + 5x_4 + 5x_5 + 4x_6 \leq 8$$

Caso 2: $x_1=1$

corte

$$\alpha x_1 + x_3 + x_4 + x_5 + x_6 \leq 3$$

$$\alpha + x_3 + x_4 + x_5 + x_6 \leq 3$$

se válido para
subproblema
então

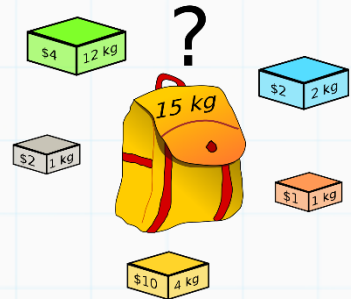
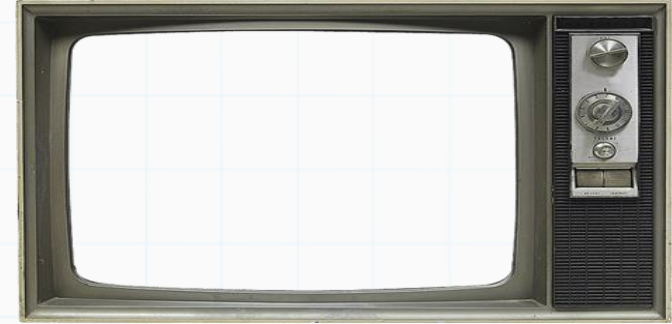
então, dentre os itens (3,4,5,6), no máximo quantos podem estar na mochila caso o item 1 seja fixo ? Essa será a condição para a validade do novo corte, i.e.

$$\alpha + x_3 + x_4 + x_5 + x_6 \leq 3$$

$$\alpha + \max\{x_3 + x_4 + x_5 + x_6 : 6x_3 + 5x_4 + 5x_5 + 4x_6 \leq 8\} \leq 3$$

Reparem que temos que resolver um pequeno problema da mochila para encontrar o maximo

Cortes Estruturais



- Fortalecimento (Lift) dos cortes da mochila: Considere o problema

problema

$$S = \{x \in \mathbb{B}^7 | 11x_1 + 6x_2 + 6x_3 + 5x_4 + 5x_5 + 4x_6 + x_7 \leq 19\}$$

subproblema

$$11x_1 + 6x_3 + 5x_4 + 5x_5 + 4x_6 \leq 19$$

$$11 + 6x_3 + 5x_4 + 5x_5 + 4x_6 \leq 19$$

$$6x_3 + 5x_4 + 5x_5 + 4x_6 \leq 8$$

Caso 2: $x_1=1$

corte

$$\alpha x_1 + x_3 + x_4 + x_5 + x_6 \leq 3$$

$$\alpha + x_3 + x_4 + x_5 + x_6 \leq 3$$

se válido para
subproblema
então

então, dentre os itens (3,4,5,6), no máximo quantos podem estar na mochila caso o item 1 seja fixo ? Essa será a condição para a validade do novo corte, i.e.

$$\alpha + x_3 + x_4 + x_5 + x_6 \leq 3$$

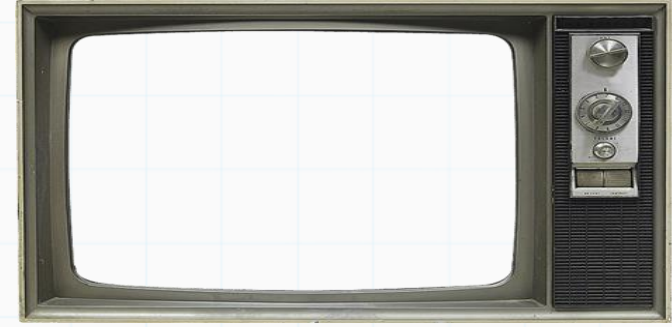
$$\alpha + \max\{x_3 + x_4 + x_5 + x_6 : 6x_3 + 5x_4 + 5x_5 + 4x_6 \leq 8\} \leq 3$$

Vemos que $\alpha \leq 2$ (no máximo 1 item pode ser colocado no subproblema), logo:

$$2x_1 + x_3 + x_4 + x_5 + x_6 \leq 3$$



Cortes Estruturais

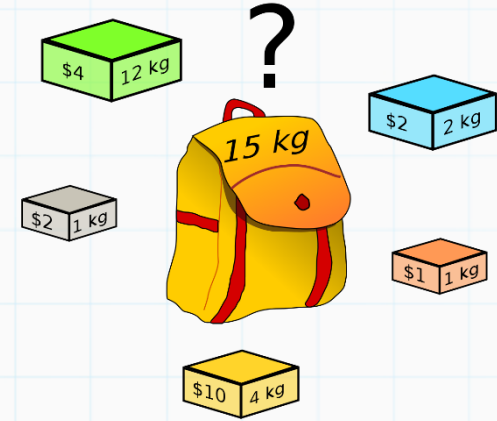


- Fortalecimento (Lift) dos cortes da mochila: Considere o problema

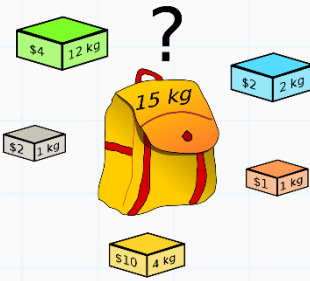
$$S = \{x \in \mathbb{B}^7 \mid 11x_1 + 6x_2 + 6x_3 + 5x_4 + 5x_5 + 4x_6 + x_7 \leq 19\}$$

Dado o corte fortalecido
a variável x_2 :

$2x_1 + x_3 + x_4 + x_5 + x_6 \leq 3$, vamos tentar fortalecer com



Cortes Estruturais



- Fortalecimento (Lift) dos cortes da mochila: Considere o problema

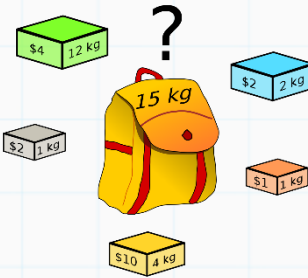
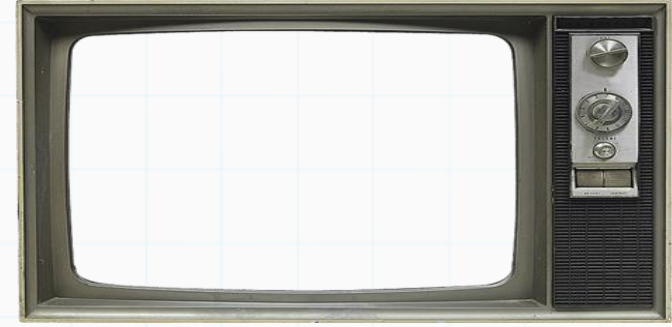
$$S = \{x \in \mathbb{B}^7 | 11x_1 + 6x_2 + 6x_3 + 5x_4 + 5x_5 + 4x_6 + x_7 \leq 19\}$$

Dado o corte fortalecido $2x_1 + x_3 + x_4 + x_5 + x_6 \leq 3$, vamos tentar fortalecer com a variável x_2 :

Vemos que o corte é válido para $11x_1 + 6x_3 + 5x_4 + 5x_5 + 4x_6 \leq 19$

onde $x_2=x_7=0$ (se a mochila tivesse apenas os itens do corte)

Cortes Estruturais



- Fortalecimento (Lift) dos cortes da mochila: Considere o problema

$$S = \{x \in \mathbb{B}^7 | 11x_1 + 6x_2 + 6x_3 + 5x_4 + 5x_5 + 4x_6 + x_7 \leq 19\}$$

Dado o corte fortalecido $2x_1 + x_3 + x_4 + x_5 + x_6 \leq 3$, vamos tentar fortalecer com a variável x_2 :

Vemos que o corte é válido para $11x_1 + 6x_3 + 5x_4 + 5x_5 + 4x_6 \leq 19$

Queremos saber para que valores de α o corte

$$2x_1 + \boxed{\alpha x_2} + x_3 + x_4 + x_5 + x_6 \leq 3$$

é válido para o subproblema

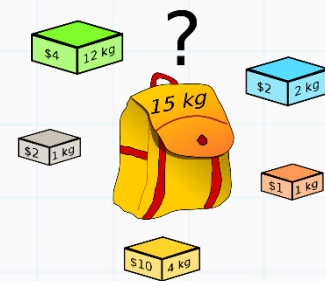
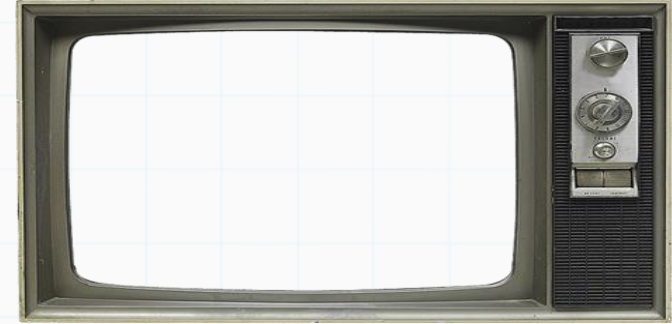
$$11x_1 + \boxed{6x_2} + 6x_3 + 5x_4 + 5x_5 + 4x_6 \leq 19$$

onde $x_2 = x_7 = 0$ (se a mochila tivesse apenas os itens do corte)

Corte estendido

subproblema estendido de x_2

Cortes Estruturais



- Fortalecimento (Lift) dos cortes da mochila: Considere o problema

$$S = \{x \in \mathbb{B}^7 | 11x_1 + 6x_2 + 6x_3 + 5x_4 + 5x_5 + 4x_6 + x_7 \leq 19\}$$

Dado o corte fortalecido $2x_1 + x_3 + x_4 + x_5 + x_6 \leq 3$, vamos tentar fortalecer com a variável x_2 :

Vemos que o corte é válido para $11x_1 + 6x_3 + 5x_4 + 5x_5 + 4x_6 \leq 19$

Queremos saber para que valores de α o corte

$$2x_1 + \boxed{\alpha x_2} + x_3 + x_4 + x_5 + x_6 \leq 3$$

é válido para o subproblema

$$11x_1 + \boxed{6x_2} + 6x_3 + 5x_4 + 5x_5 + 4x_6 \leq 19$$

onde $x_2 = x_7 = 0$ (se a mochila tivesse apenas os itens do corte)

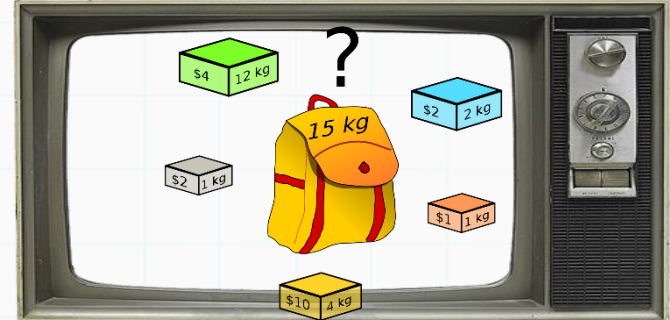
Corte estendido

subproblema estendido de x_2

Caso 1: $x_2 = 0$

válido pois recai no corte original

Cortes Estruturais



- Fortalecimento (Lift) dos cortes da mochila: Considere o problema

problema

$$S = \{x \in \mathbb{B}^7 | 11x_1 + 6x_2 + 6x_3 + 5x_4 + 5x_5 + 4x_6 + x_7 \leq 19\}$$

subproblema

Caso 2: $x_2=1$

corte

$$2x_1 + \alpha x_2 + x_3 + x_4 + x_5 + x_6 \leq 3$$

$$2x_1 + \boxed{\alpha} + x_3 + x_4 + x_5 + x_6 \leq 3$$

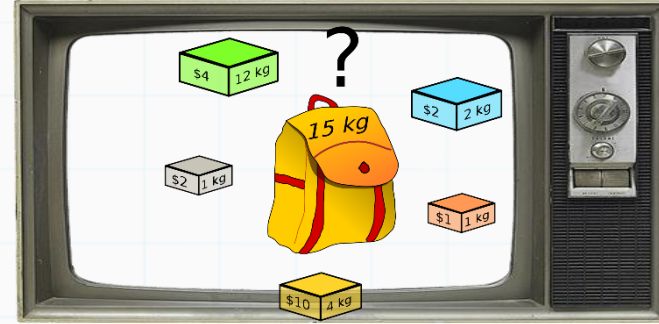
se válido para
subproblema
então

$$11x_1 + 6x_2 + 6x_3 + 5x_4 + 5x_5 + 4x_6 \leq 19$$

$$11x_1 + \textcolor{red}{6} + 6x_3 + 5x_4 + 5x_5 + 4x_6 \leq 19$$

$$11x_1 + 6x_3 + 5x_4 + 5x_5 + 4x_6 \leq 13$$

Cortes Estruturais



- Fortalecimento (Lift) dos cortes da mochila: Considere o problema

problema

$$S = \{x \in \mathbb{B}^7 | 11x_1 + 6x_2 + 6x_3 + 5x_4 + 5x_5 + 4x_6 + x_7 \leq 19\}$$

subproblema

Caso 2: $x_2=1$

corte

$$2x_1 + \alpha x_2 + x_3 + x_4 + x_5 + x_6 \leq 3$$

$$2x_1 + \boxed{\alpha} + x_3 + x_4 + x_5 + x_6 \leq 3$$

se válido para
subproblema
então

$$11x_1 + 6x_2 + 6x_3 + 5x_4 + 5x_5 + 4x_6 \leq 19$$

$$11x_1 + \mathbf{6} + 6x_3 + 5x_4 + 5x_5 + 4x_6 \leq 19$$

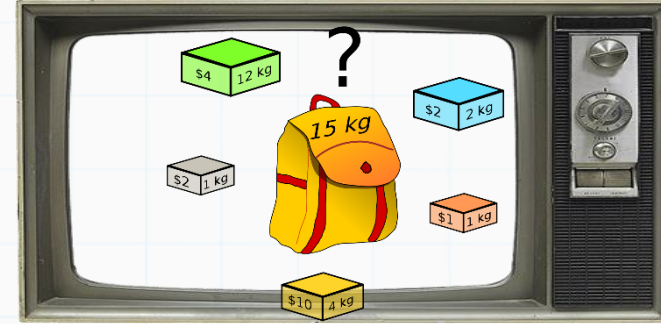
$$11x_1 + 6x_3 + 5x_4 + 5x_5 + 4x_6 \leq 13$$

então, dentre os itens (1,3,4,5,6), no máximo quantos podem estar na mochila caso o item 2 seja fixo ? Essa será a condição para a validade do novo corte, i.e.

$$2x_1 + \alpha + x_3 + x_4 + x_5 + x_6 \leq 3$$

$$\alpha + \max\{2x_1 + x_3 + x_4 + x_5 + x_6 : 11x_1 + 6x_3 + 5x_4 + 5x_5 + 4x_6 \leq 13\} \leq 3$$

Cortes Estruturais



- Fortalecimento (Lift) dos cortes da mochila: Considere o problema

problema

$$S = \{x \in \mathbb{B}^7 | 11x_1 + 6x_2 + 6x_3 + 5x_4 + 5x_5 + 4x_6 + x_7 \leq 19\}$$

subproblema

Caso 2: $x_2=1$

corte

$$2x_1 + \alpha x_2 + x_3 + x_4 + x_5 + x_6 \leq 3$$

$$2x_1 + \boxed{\alpha} + x_3 + x_4 + x_5 + x_6 \leq 3$$

se válido para
subproblema
então

$$11x_1 + 6x_2 + 6x_3 + 5x_4 + 5x_5 + 4x_6 \leq 19$$

$$11x_1 + \mathbf{6} + 6x_3 + 5x_4 + 5x_5 + 4x_6 \leq 19$$

$$11x_1 + 6x_3 + 5x_4 + 5x_5 + 4x_6 \leq 13$$

então, dentre os itens (1,3,4,5,6), no máximo quantos podem estar na mochila caso o item 2 seja fixo ? Essa será a condição para a validade do novo corte, i.e.

$$2x_1 + \alpha + x_3 + x_4 + x_5 + x_6 \leq 3$$

$$\alpha + \max\{2x_1 + x_3 + x_4 + x_5 + x_6 : 11x_1 + 6x_3 + 5x_4 + 5x_5 + 4x_6 \leq 13\} \leq 3$$

Vemos que $\alpha \leq 1$ (pois a solução ótima será $x_1=1$ ou $x_4=x_5=1$ ou...), logo:

$$2x_1 + x_2 + x_3 + x_4 + x_5 + x_6 \leq 3$$

O procedimento pode ser
iterativamente repetido para
todos os itens

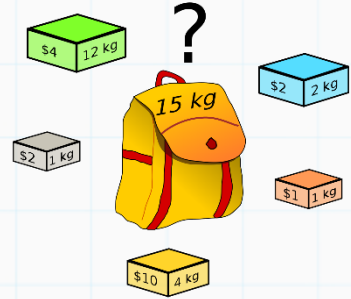
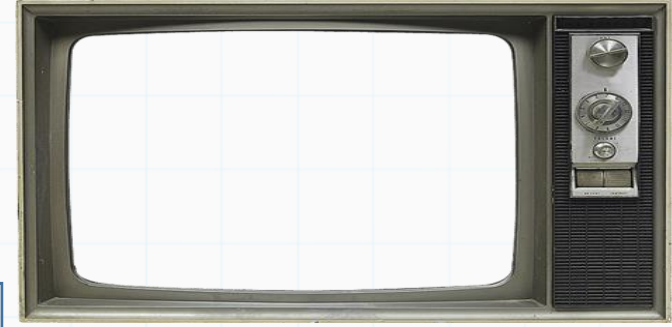
Cortes Estruturais

- Fortalecimento (Lift) dos cortes da mochila: Generalizando:

Suponha que $\sum_{j=2}^n \pi_j x_j \leq \pi_0$ é válido para todo $x \in S$ com $x_1 = 0$.

$\alpha x_1 + \sum_{j=2}^n \pi_j x_j \leq \pi_0$ será válido se $\alpha \leq \pi_0 - \max_{x \in S | x_1=1} \sum_{j=2}^n \pi_j x_j$

Soluções viáveis



Apesar de custosa, estas restrições são muito fortes e valem a pena serem identificadas



Exercício

Cortes da Mochila: Dado o problema da mochila

$$S = \{x \in \mathbb{B}^6 | 12x_1 + 9x_2 + 7x_3 + 5x_4 + 5x_5 + 3x_6 \leq 14\}$$

e o corte de cobertura

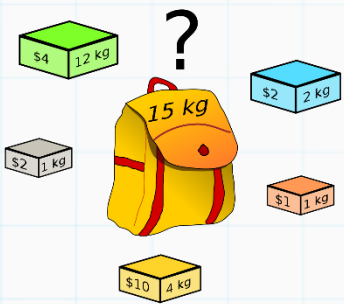
$$x_3 + x_5 + x_6 \leq 2$$

se realizarmos o procedimento de fortalecimento (lifting) no corte com as variáveis x_1, x_2 e x_4 (nessa ordem), chegaremos em que corte fortalecido ?

Sabendo que:

Suponha que $\sum_{j=2}^n \pi_j x_j \leq \pi_0$ é válido para todo $x \in S$ com $x_1 = 0$.

$\alpha x_1 + \sum_{j=2}^n \pi_j x_j \leq \pi_0$ será válido se $\alpha \leq \pi_0 - \max_{x \in S | x_1=1} \sum_{j=2}^n \pi_j x_j$



- 1) Defina o corte estendido como $\alpha x_1 + x_3 + x_5 + x_6 \leq 2$ (pois queremos estender primeiro com a variável x_1)
- 2) Precisamos encontrar agora o valor máximo de α , que vai ser dado pela resolução do subproblema onde fixamos $x_1=1$, logo temos que identificar:

$$\alpha + \text{MAX}\{x_3 + x_5 + x_6 : \text{s.a. } 12 + 7x_3 + 5x_5 + 3x_6 \leq 14\} \leq 2$$
- 3) ...

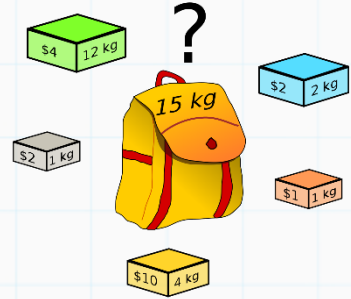
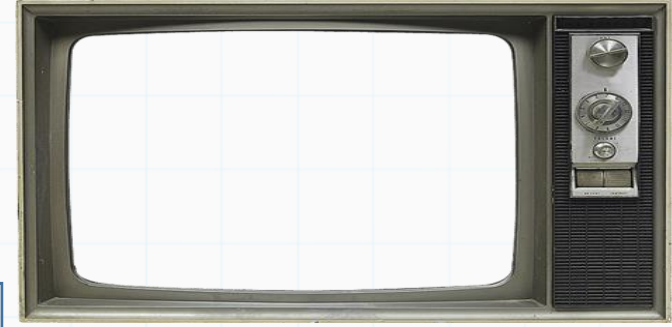
Cortes Estruturais

- Fortalecimento (Lift) dos cortes da mochila: Generalizando:

Suponha que $\sum_{j=2}^n \pi_j x_j \leq \pi_0$ é válido para todo $x \in S$ com $x_1 = 0$.

$\alpha x_1 + \sum_{j=2}^n \pi_j x_j \leq \pi_0$ será válido se $\alpha \leq \pi_0 - \max_{x \in S | x_1 = 1} \sum_{j=2}^n \pi_j x_j$

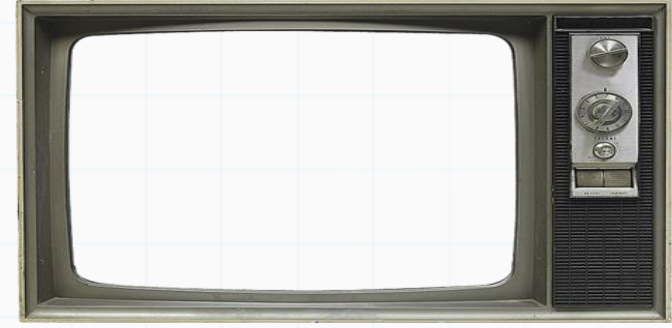
Soluções viáveis



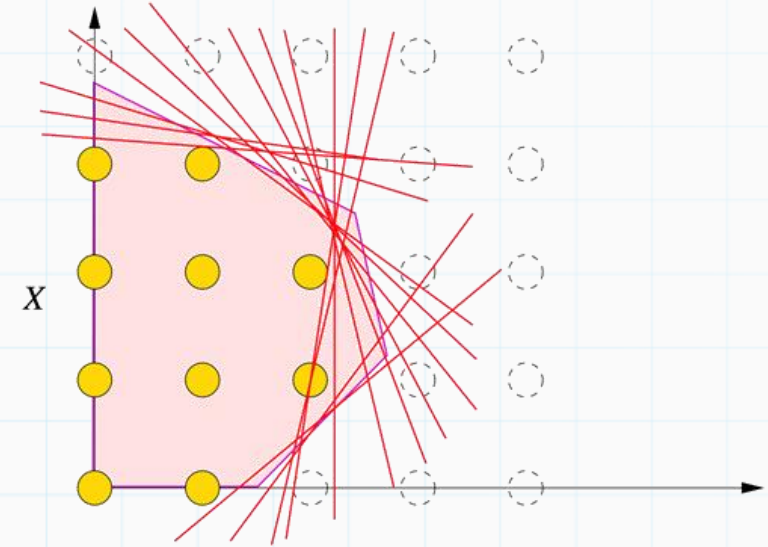
Agora que conhecemos algumas famílias de cortes, vamos ver um método para inseri-los de forma iterativa



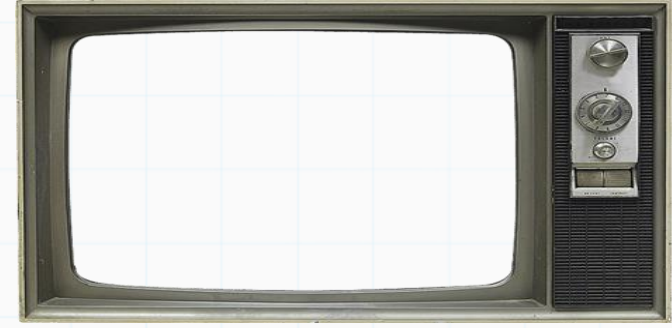
Cortes Estruturais



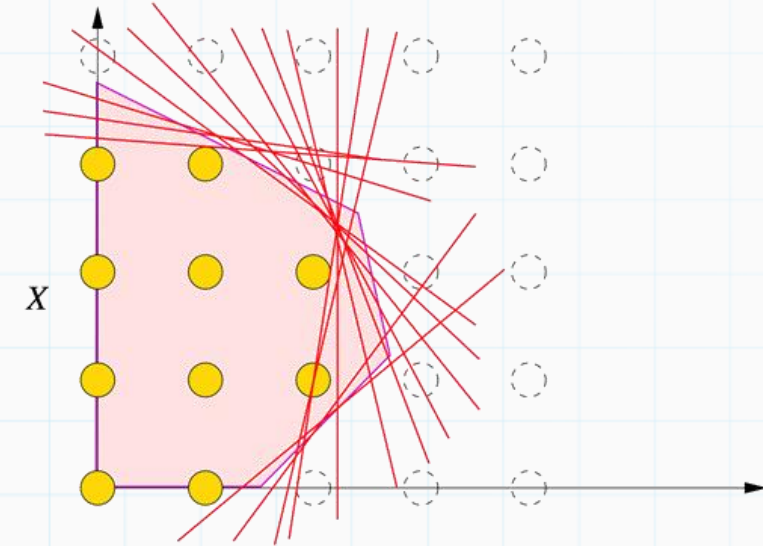
- Método de Plano de Cortes:
- Seja $X = P \cap \mathbb{Z}^n$, onde $P = \{x \in \mathbb{R}_+^n : Ax \leq b\}$
- Seja \mathcal{F} uma família de desigualdades válidas para X e considere o problema de PLI dado por $z = \max\{cx : x \in X\}$



Cortes Estruturais



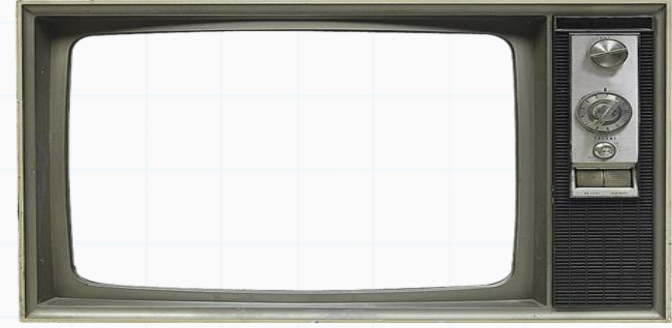
- Método de Plano de Cortes:
- Seja $X = P \cap \mathbb{Z}^n$, onde $P = \{x \in \mathbb{R}_+^n : Ax \leq b\}$
- Seja \mathcal{F} uma família de desigualdades válidas para X e considere o problema de PLI dado por $z = \max\{cx : x \in X\}$



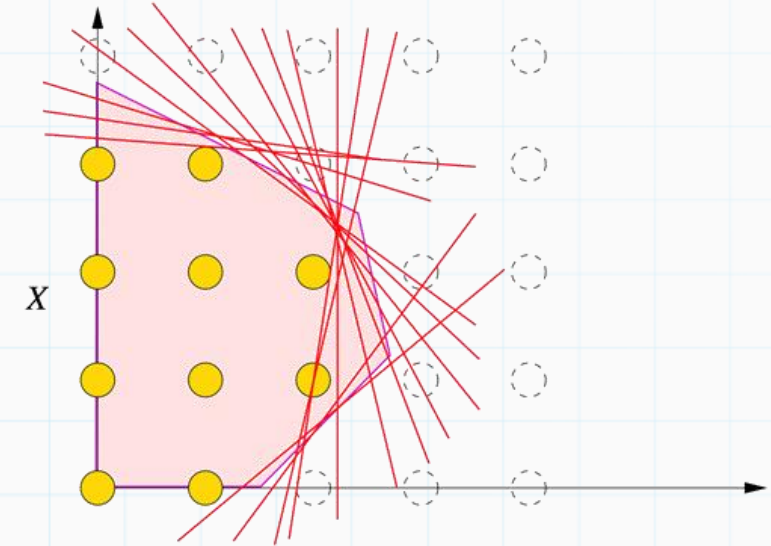
- 1) $t \leftarrow 0$ e $P^0 \leftarrow P$
- 2) resolver a relaxação linear (LP^t): $\bar{z}^t = \max\{cx : x \in P^t\}$, obtendo a **solução ótima** x^t



Cortes Estruturais



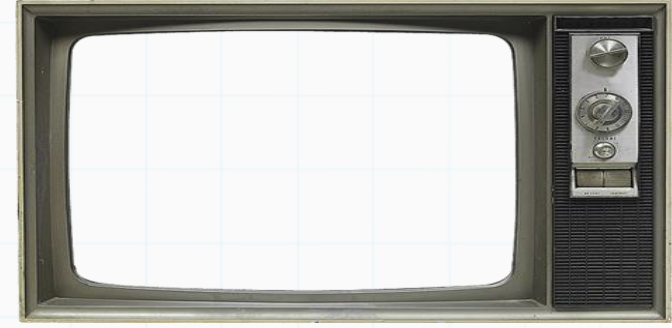
- Método de Plano de Cortes:
- Seja $X = P \cap \mathbb{Z}^n$, onde $P = \{x \in \mathbb{R}_+^n : Ax \leq b\}$
- Seja \mathcal{F} uma família de desigualdades válidas para X e considere o problema de PLI dado por $z = \max\{cx : x \in X\}$



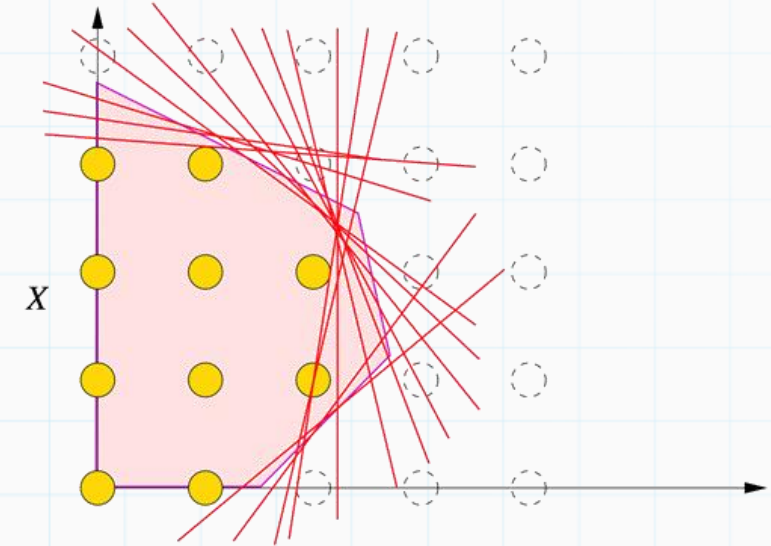
- 1) $t \leftarrow 0$ e $P^0 \leftarrow P$
- 2) resolver a relaxação linear (LP^t): $\bar{z}^t = \max\{cx : x \in P^t\}$, obtendo a **solução ótima** x^t
- 3) Se x^t é **inteira**, retorne (\bar{z}^t, x_t) e **pare**
- 4) Resolver o problema de separação para x^t e \mathcal{F}



Cortes Estruturais



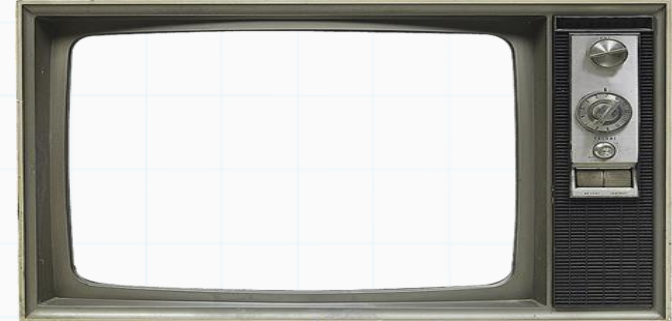
- Método de Plano de Cortes:
- Seja $X = P \cap \mathbb{Z}^n$, onde $P = \{x \in \mathbb{R}_+^n : Ax \leq b\}$
- Seja \mathcal{F} uma família de desigualdades válidas para X e considere o problema de PLI dado por $z = \max\{cx : x \in X\}$



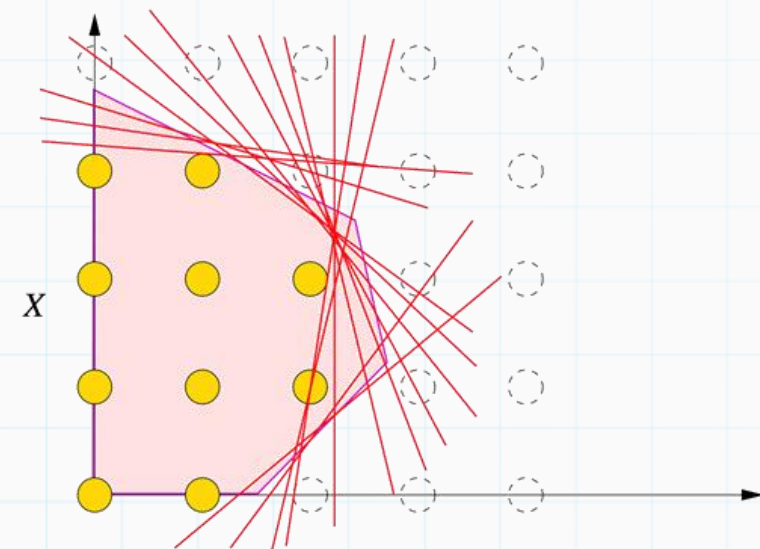
limite dual

- 1) $t \leftarrow 0$ e $P^0 \leftarrow P$
- 2) resolver a relaxação linear (LP^t): $\bar{z}^t = \max\{cx : x \in P^t\}$, obtendo a **solução ótima** x^t
- 3) Se x^t é **inteira**, retorne (\bar{z}^t, x_t) e **pare**
- 4) Resolver o problema de separação para x^t e \mathcal{F}
- 5) Se **não encontrou** desigualdade violada por x^t em \mathcal{F} , **pare** e retorne o limitante superior \bar{z}^t

Cortes Estruturais



- Método de Plano de Cortes:
- Seja $X = P \cap \mathbb{Z}^n$, onde $P = \{x \in \mathbb{R}_+^n : Ax \leq b\}$
- Seja \mathcal{F} uma família de desigualdades válidas para X e considere o problema de PLI dado por $z = \max\{cx : x \in X\}$



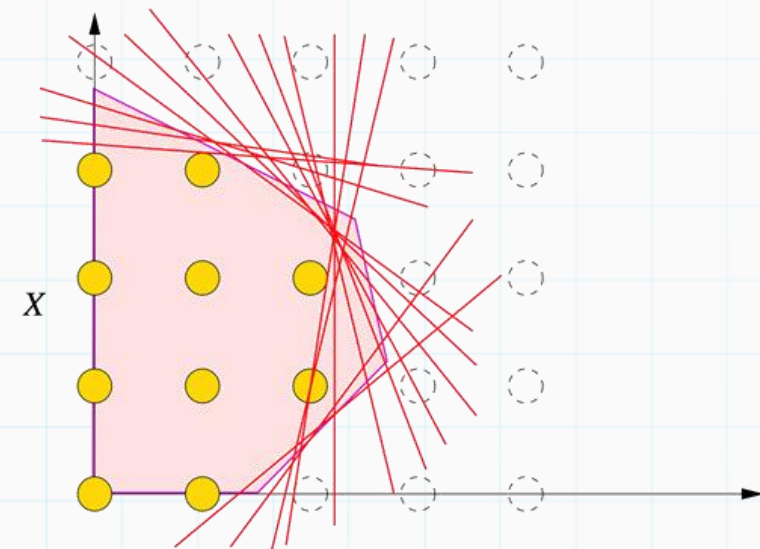
limite dual

- 1) $t \leftarrow 0$ e $P^0 \leftarrow P$
- 2) resolver a relaxação linear (LP^t): $\bar{z}^t = \max\{cx : x \in P^t\}$, obtendo a **solução ótima** x^t
- 3) Se x^t é **inteira**, retorne (\bar{z}^t, x_t) e **pare**
- 4) Resolver o problema de separação para x^t e \mathcal{F}
- 5) Se **não encontrou** desigualdade violada por x^t em \mathcal{F} , **pare** e retorne o limitante superior \bar{z}^t
- 6) Seja $\pi^t x \leq \pi_0^t$ a desigualdade violada por x^t em \mathcal{F} . Faça $P^{t+1} = P^t \cap \{x \in \mathbb{R}_+^n : \pi^t x \leq \pi_0^t\}$, $t \leftarrow t + 1$ e **volte ao passo 1**

Cortes Estruturais



- Método de Plano de Cortes:
- Seja $X = P \cap \mathbb{Z}^n$, onde $P = \{x \in \mathbb{R}_+^n : Ax \leq b\}$
- Seja \mathcal{F} uma família de desigualdades válidas para X e considere o problema de PLI dado por $z = \max\{cx : x \in X\}$



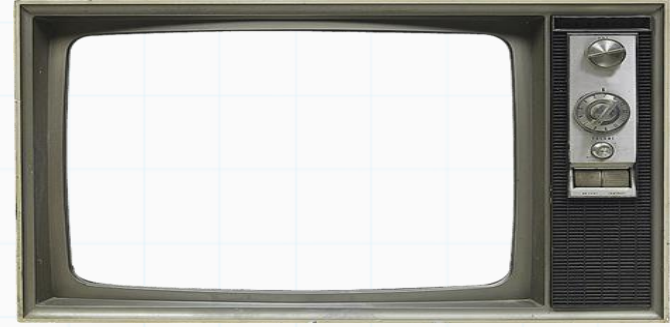
Obs:

$$- P^0 \supset P^1 \supset P^2 \supset \dots \supset P^t \supset \dots$$

- Com a adição do corte, o limite superior (dual) decresce a cada iteração
- Na prática é melhor inserir vários cortes por vez.

- 1) $t \leftarrow 0$ e $P^0 \leftarrow P$
- 2) resolver a relaxação linear (LP^t): $\bar{z}^t = \max\{cx : x \in P^t\}$, obtendo a **solução ótima** x^t
- 3) Se x^t é **inteira**, retorne (\bar{z}^t, x_t) e **pare**
- 4) Resolver o problema de separação para x^t e \mathcal{F}
- 5) Se **não encontrou** desigualdade violada por x^t em \mathcal{F} , **pare** e retorne o limitante superior \bar{z}^t
- 6) Seja $\pi^t x \leq \pi_0^t$ a desigualdade violada por x^t em \mathcal{F} . Faça $P^{t+1} = P^t \cap \{x \in \mathbb{R}_+^n : \pi^t x \leq \pi_0^t\}$, $t \leftarrow t + 1$ e **volte ao passo 1**

Cortes Estruturais



- Método de Plano de Cortes: Vamos usar só cortes de cobertura

ex: $\max x_1 + 3x_2 + x_3 + 2x_4$

$$4x_1 + 7x_2 + 3x_3 + 5x_4 \leq 10,$$

$$5x_1 + 4x_2 + 6x_3 + 2x_4 \leq 9,$$

$$x_1, x_2, x_3, x_4 \in \{0, 1\}.$$

$$\text{Sol}^* = 3$$



Cortes Estruturais



- Método de Plano de Cortes: Vamos usar só cortes de cobertura

ex: $\max x_1 + 3x_2 + x_3 + 2x_4$

$$4x_1 + 7x_2 + 3x_3 + 5x_4 \leq 10,$$

$$5x_1 + 4x_2 + 6x_3 + 2x_4 \leq 9,$$

$$x_1, x_2, x_3, x_4 \in \{0, 1\}.$$

$$\text{Sol}^* = 3$$

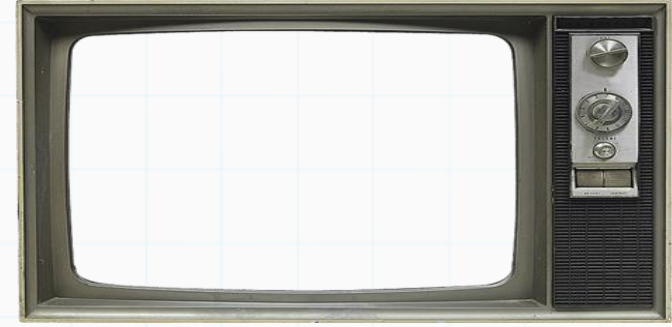
$$\text{Sol} = 4.20$$

Relaxação: $x^{(1)} = (0, 1, 0, \frac{3}{5})^T$

que corte de cobertura cortaria essa solução ? (2 variáveis)

Vamos procurar pelas variáveis com valores não nulos pois as variáveis nulas não vão cortar nada

Cortes Estruturais



- Método de Plano de Cortes: Vamos usar só cortes de cobertura

ex: $\max x_1 + 3x_2 + x_3 + 2x_4$

$$4x_1 + 7x_2 + 3x_3 + 5x_4 \leq 10,$$

$$5x_1 + 4x_2 + 6x_3 + 2x_4 \leq 9,$$

$$x_1, x_2, x_3, x_4 \in \{0, 1\}.$$

$$\text{Sol}^* = 3$$

$$\text{Sol} = 4.20$$

Relaxação: $x^{(1)} = (0, 1, 0, \frac{3}{5})^T$

que corte de cobertura cortaria essa solução ? (2 variáveis)

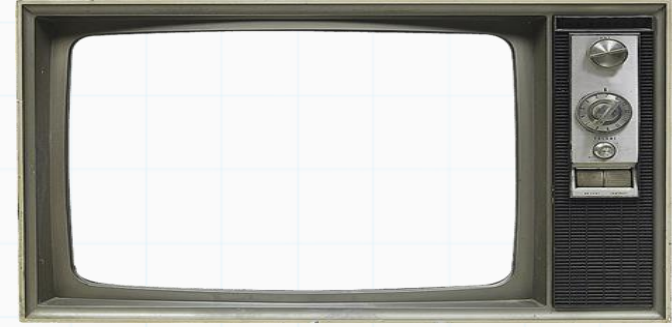
$$\text{Sol} = 3.88$$

Corte: $x_2 + x_4 \leq 1$ Relaxação: $(\frac{1}{3}, 1, \frac{5}{9}, 0)^T$

que corte de cobertura cortaria essa solução ? (2 variáveis)



Cortes Estruturais



- Método de Plano de Cortes: Vamos usar só cortes de cobertura

ex: $\max x_1 + 3x_2 + x_3 + 2x_4$

$$4x_1 + 7x_2 + 3x_3 + 5x_4 \leq 10,$$

$$5x_1 + 4x_2 + 6x_3 + 2x_4 \leq 9,$$

$$x_1, x_2, x_3, x_4 \in \{0, 1\}.$$

$$\text{Sol}^* = 3$$

$$\text{Sol} = 4.20$$

Relaxação: $x^{(1)} = (0, 1, 0, \frac{3}{5})^T$

que corte de cobertura cortaria essa solução ? (2 variáveis)

$$\text{Sol} = 3.88$$

Corte: $x_2 + x_4 \leq 1$

Relaxação: $(\frac{1}{3}, 1, \frac{5}{9}, 0)^T$

que corte de cobertura cortaria essa solução ? (2 variáveis)

$$\text{Sol} = 3.83$$

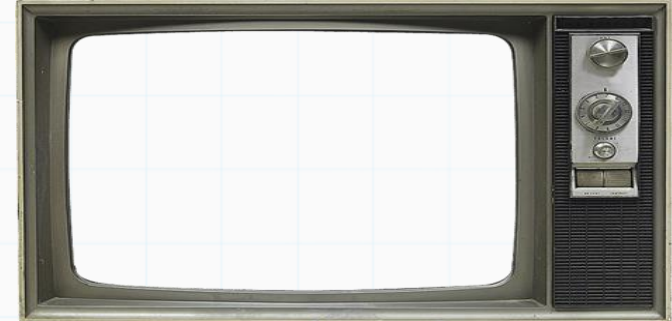
Corte: $x_1 + x_2 \leq 1$

Relaxação: $x^{(3)} = (0, 1, \frac{5}{6}, 0)^T$

que corte de cobertura cortaria essa solução ? (2 variáveis)



Cortes Estruturais



- Método de Plano de Cortes: Vamos usar só cortes de cobertura

ex: $\max x_1 + 3x_2 + x_3 + 2x_4$

$$4x_1 + 7x_2 + 3x_3 + 5x_4 \leq 10,$$

$$5x_1 + 4x_2 + 6x_3 + 2x_4 \leq 9,$$

$$x_1, x_2, x_3, x_4 \in \{0, 1\}.$$

$$\text{Sol}^* = 3$$

$$\text{Sol} = 4.20$$

Relaxação: $x^{(1)} = (0, 1, 0, \frac{3}{5})^T$

que corte de cobertura cortaria essa solução ? (2 variáveis)

$$\text{Sol} = 3.88$$

Corte: $x_2 + x_4 \leq 1$

Relaxação: $(\frac{1}{3}, 1, \frac{5}{9}, 0)^T$

que corte de cobertura cortaria essa solução ? (2 variáveis) $\text{Sol} = 3.83$

Corte: $x_1 + x_2 \leq 1$

Relaxação: $x^{(3)} = (0, 1, \frac{5}{6}, 0)^T$

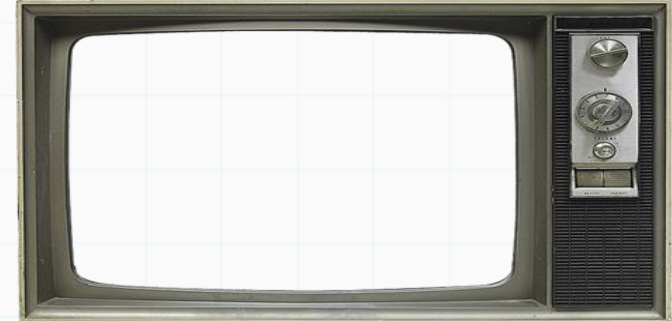
que corte de cobertura cortaria essa solução ? (2 variáveis) $\text{Sol} = 3.55$

Corte: $x_2 + x_3 \leq 1$

Relaxação: $x^{(4)} = (\frac{5}{9}, \frac{4}{9}, \frac{5}{9}, \frac{5}{9})^T$

que corte de cobertura cortaria essa solução ? (2 variáveis)

Cortes Estruturais



- Método de Plano de Cortes: Vamos usar só cortes de cobertura

ex: $\max x_1 + 3x_2 + x_3 + 2x_4$

$$4x_1 + 7x_2 + 3x_3 + 5x_4 \leq 10,$$

$$5x_1 + 4x_2 + 6x_3 + 2x_4 \leq 9,$$

$$x_1, x_2, x_3, x_4 \in \{0, 1\}.$$

$$\text{Sol}^* = 3$$

$$\text{Sol} = 4.20$$

Relaxação: $x^{(1)} = (0, 1, 0, \frac{3}{5})^T$

que corte de cobertura cortaria essa solução ? (2 variáveis)

$$\text{Sol} = 3.88$$

Corte: $x_2 + x_4 \leq 1$

Relaxação: $x^{(2)} = (\frac{1}{3}, 1, \frac{5}{9}, 0)^T$

que corte de cobertura cortaria essa solução ? (2 variáveis)

$$\text{Sol} = 3.83$$

Corte: $x_1 + x_2 \leq 1$

Relaxação: $x^{(3)} = (0, 1, \frac{5}{6}, 0)^T$

que corte de cobertura cortaria essa solução ? (2 variáveis)

$$\text{Sol} = 3.55$$

Corte: $x_2 + x_3 \leq 1$

Relaxação: $x^{(4)} = (\frac{5}{9}, \frac{4}{9}, \frac{5}{9}, \frac{5}{9})^T$

que corte de cobertura cortaria essa solução ? (2 variáveis)

$$\text{Sol} = 3.50$$

Corte: $x_1 + x_3 \leq 1$

Relaxação: $x^{(5)} = (\frac{1}{2}, \frac{1}{2}, \frac{1}{2}, \frac{1}{2})^T$

que corte de cobertura cortaria essa solução ? (2 variáveis)

Cortes Estruturais



- Método de Plano de Cortes: Vamos usar só cortes de cobertura

ex: $\max x_1 + 3x_2 + x_3 + 2x_4$
 $4x_1 + 7x_2 + 3x_3 + 5x_4 \leq 10,$
 $5x_1 + 4x_2 + 6x_3 + 2x_4 \leq 9,$
 $x_1, x_2, x_3, x_4 \in \{0, 1\}.$

Sol* = 3

Sol = 4.20

Relaxação: $x^{(1)} = (0, 1, 0, \frac{3}{5})^T$

que corte de cobertura cortaria essa solução ? (2 variáveis)

Sol = 3.88

Corte: $x_2 + x_4 \leq 1$

Relaxação: $(\frac{1}{3}, 1, \frac{5}{9}, 0)^T$

que corte de cobertura cortaria essa solução ? (2 variáveis)

Sol = 3.83

Corte: $x_1 + x_2 \leq 1$

Relaxação: $x^{(3)} = (0, 1, \frac{5}{6}, 0)^T$

que corte de cobertura cortaria essa solução ? (2 variáveis)

Sol = 3.55

Corte: $x_2 + x_3 \leq 1$

Relaxação: $x^{(4)} = (\frac{5}{9}, \frac{4}{9}, \frac{5}{9}, \frac{5}{9})^T$

que corte de cobertura cortaria essa solução ? (2 variáveis)

Sol = 3.50

Não tem mais !!!

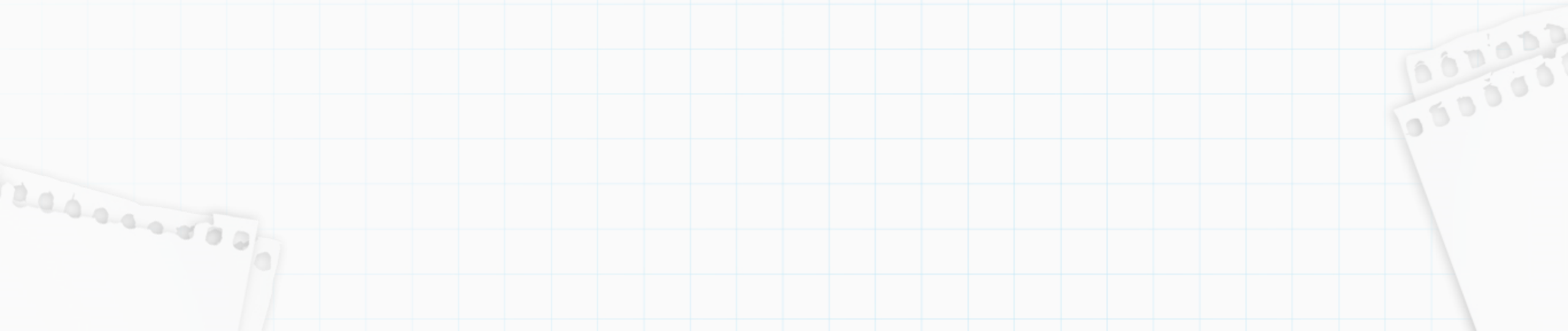
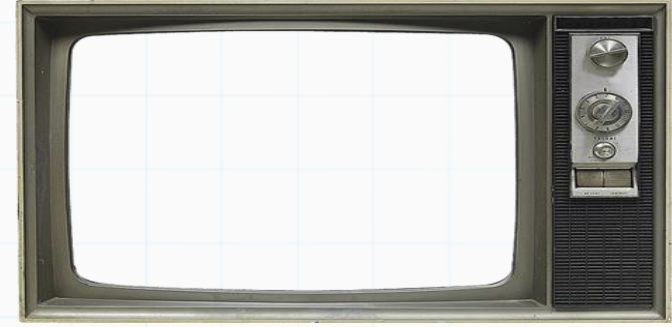
Corte: $x_1 + x_3 \leq 1$

Relaxação: $x^{(5)} = (\frac{1}{2}, \frac{1}{2}, \frac{1}{2}, \frac{1}{2})^T$

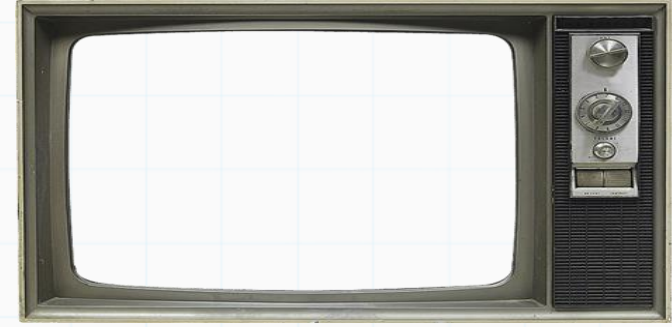
que corte de cobertura cortaria essa solução ? (2 variáveis)

Cortes Estruturais

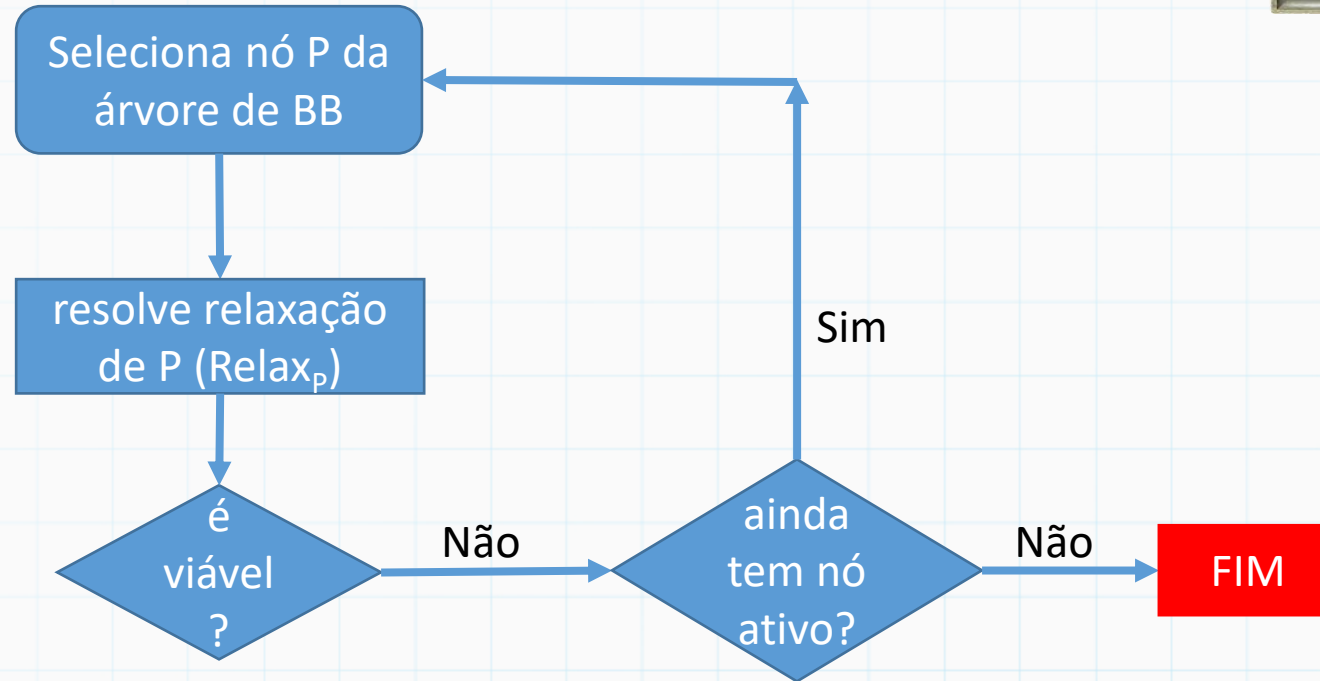
- Método Branch-and-Cut: É a aplicação do método de **planos de corte** em cada nó da árvore do **branch-and-bound**.



Cortes Estruturais



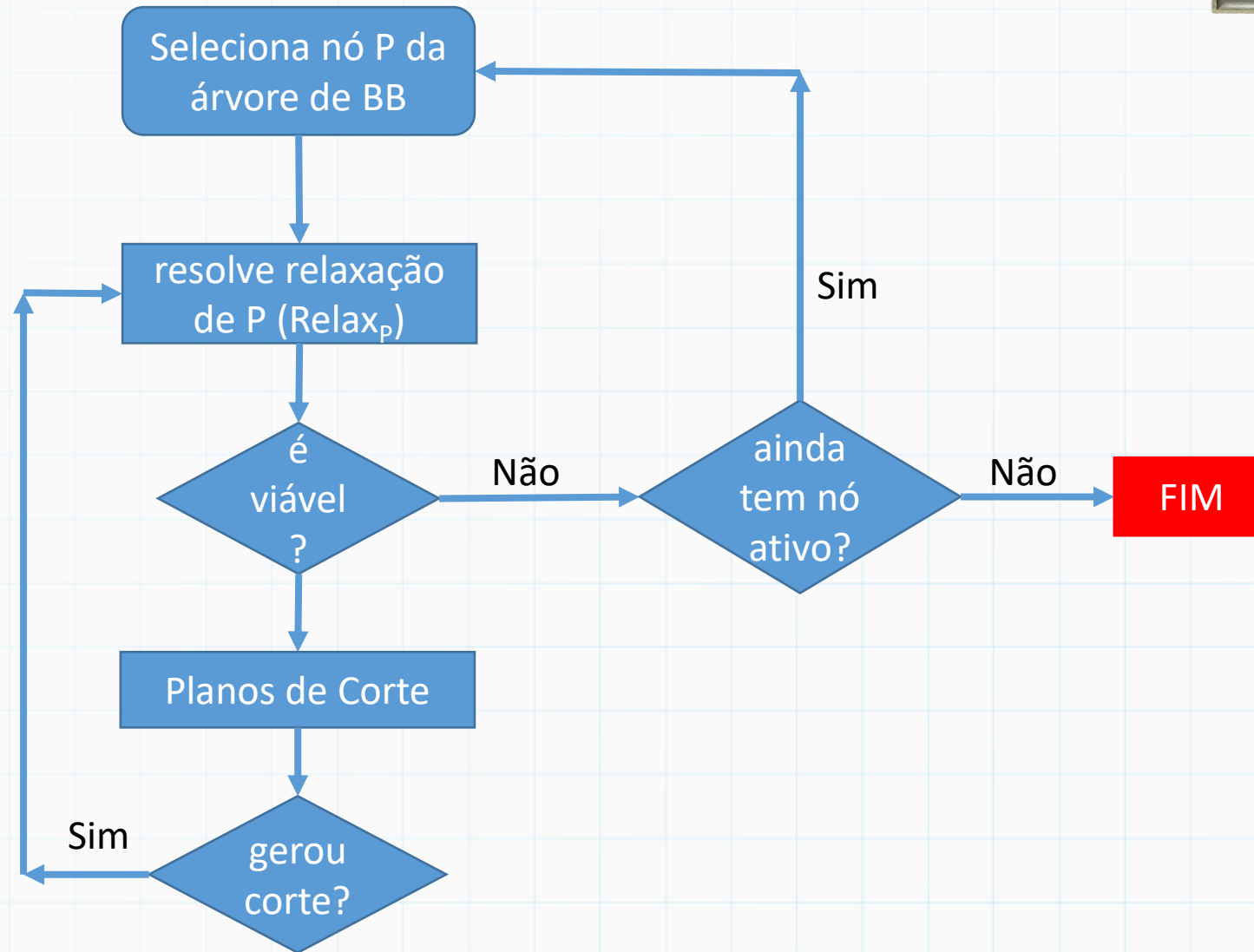
- Método Branch-and-Cut: É a aplicação do método de planos de corte em cada nó da árvore do branch-and-bound.



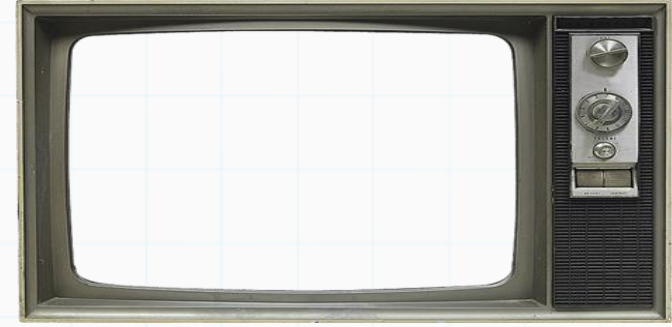
Cortes Estruturais



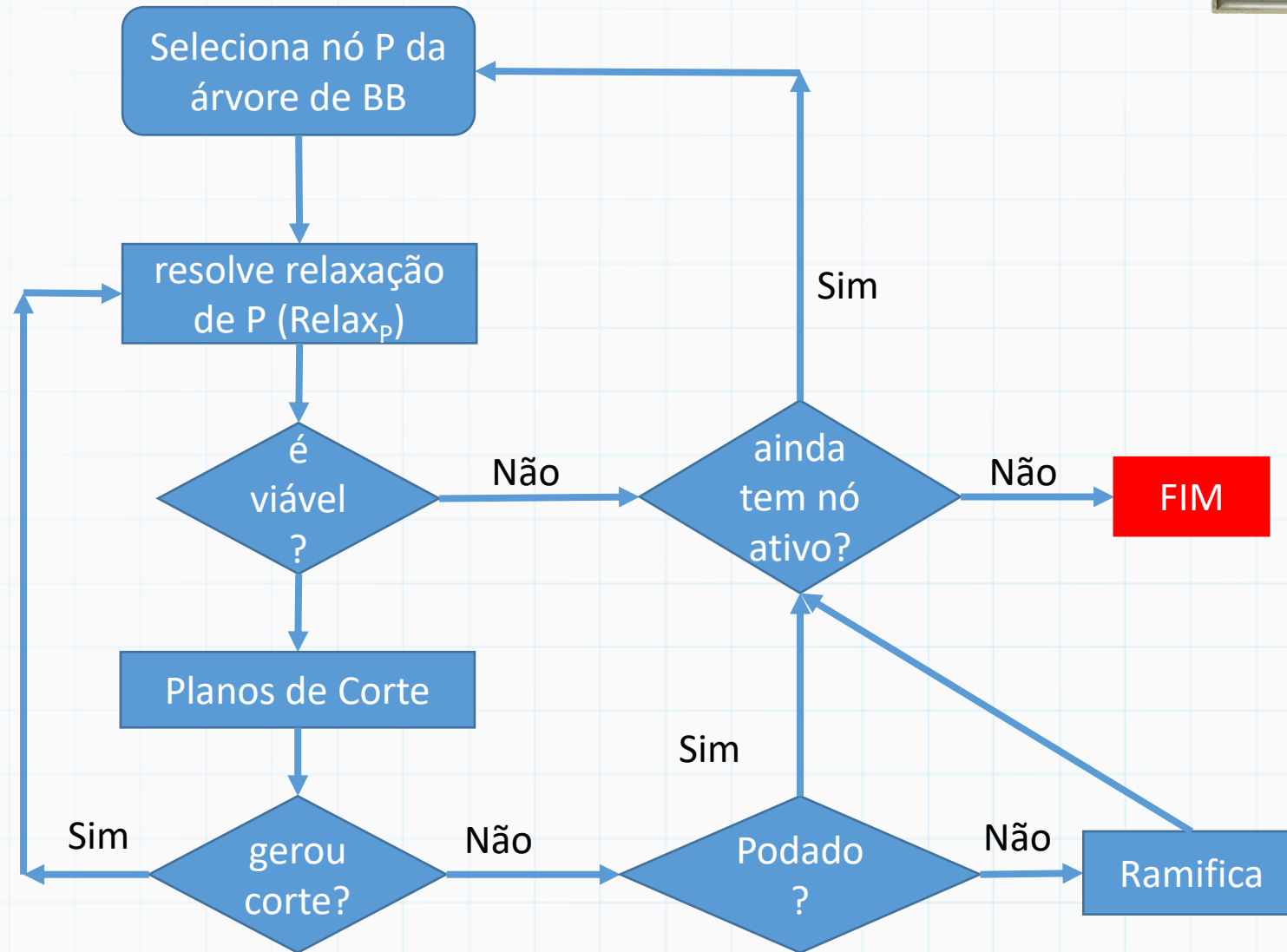
- Método Branch-and-Cut: É a aplicação do método de planos de corte em cada nó da árvore do branch-and-bound.



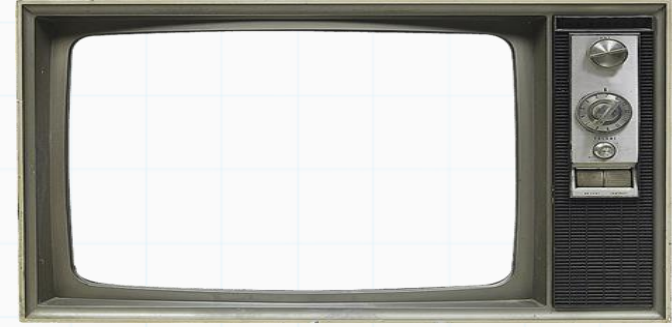
Cortes Estruturais



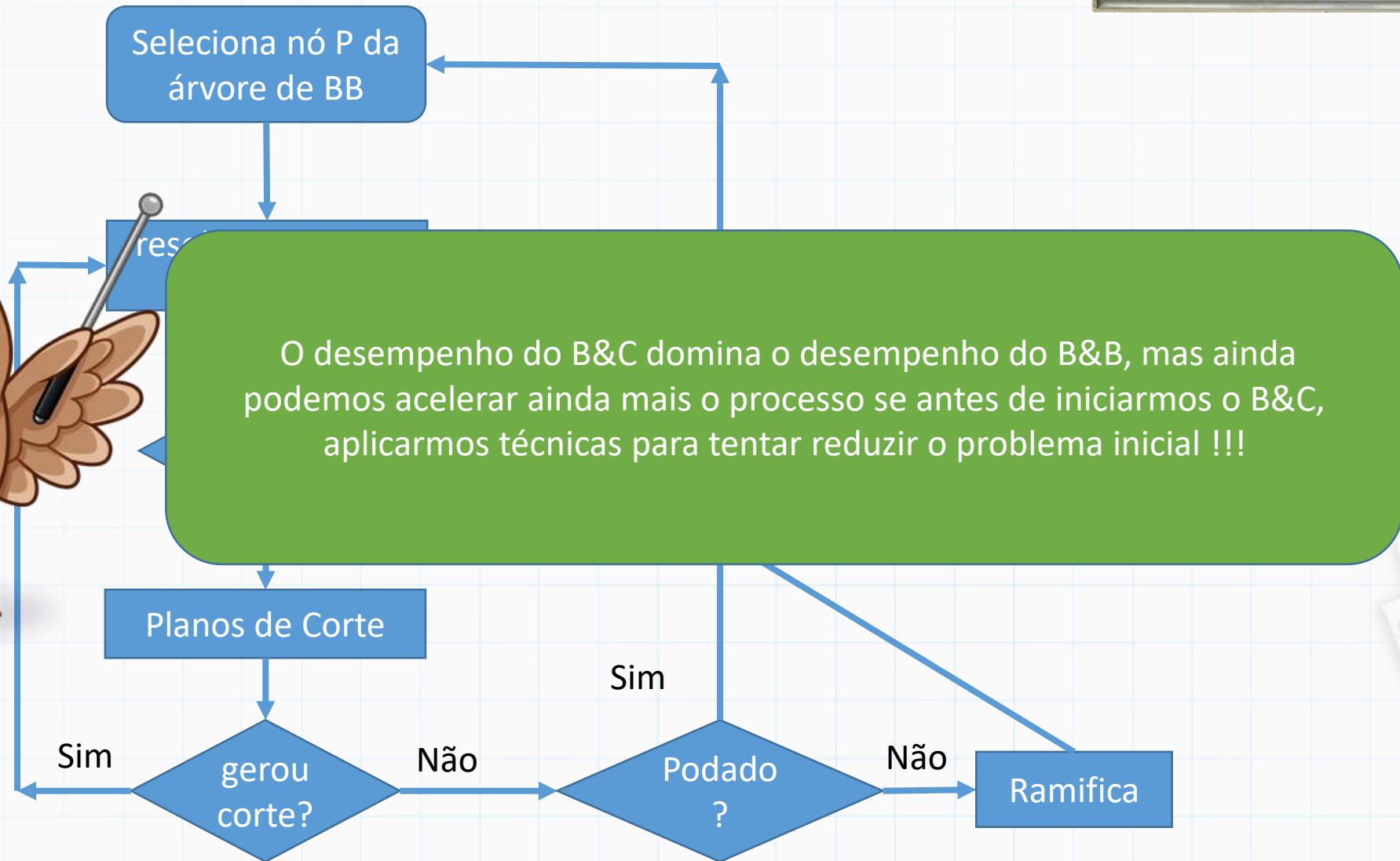
- Método Branch-and-Cut: É a aplicação do método de planos de corte em cada nó da árvore do branch-and-bound.



Cortes Estruturais



- Método Branch-and-Cut: É a aplicação do método de planos de corte em cada nó da árvore do branch-and-bound.



Até a próxima

